

第三章

离散傅里叶变换 (DFT) Discrete Fourier Transforms



第三章 离散傅立叶变换 (DFT)

- 离散傅立叶变换的定义
- 离散傅立叶变换的物理意义
- 离散傅立叶变换的基本性质
- 频率域采样
- DFT的应用举例

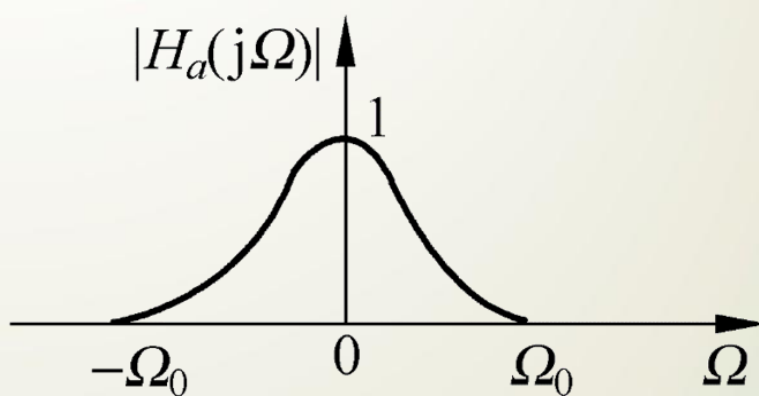
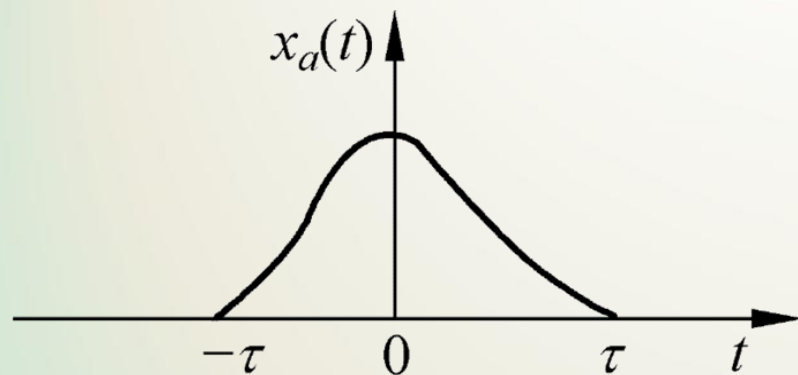


3.1 引言

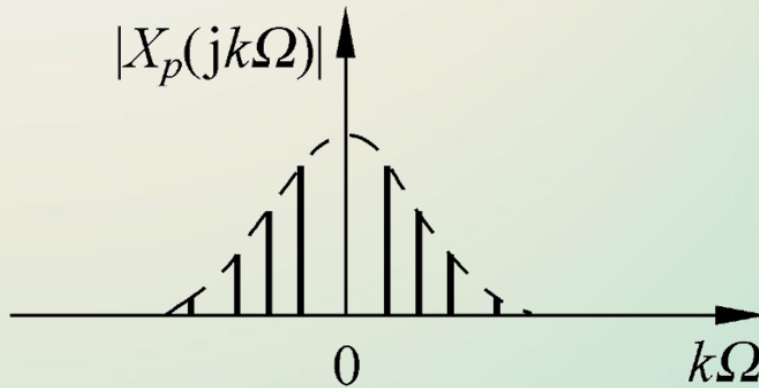
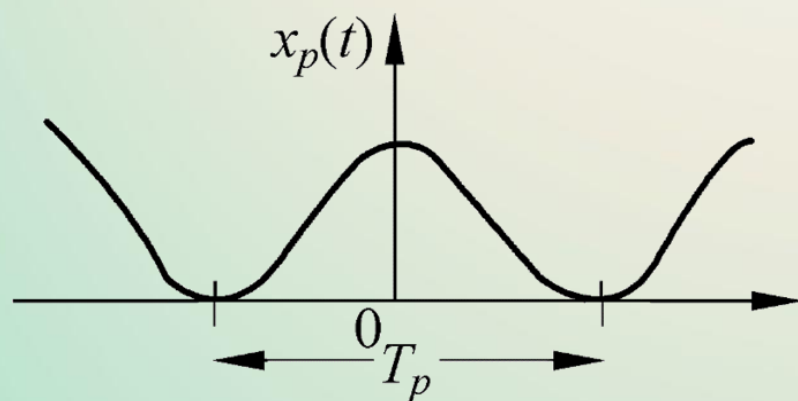
- 各种形式的傅里叶变换
 - 非周期实连续时间信号的傅里叶变换：频谱是一个非周期的连续函数
 - 周期性连续时间信号的傅里叶变换：频谱是非周期性的离散频率函数
 - 非周期离散时间信号的傅里叶变换：频率函数是周期的连续函数
 - 离散周期序列的傅里叶变换：频谱既是周期又是离散的，即时域和频域都是离散的、周期的



各种形式的傅里叶变换示意图



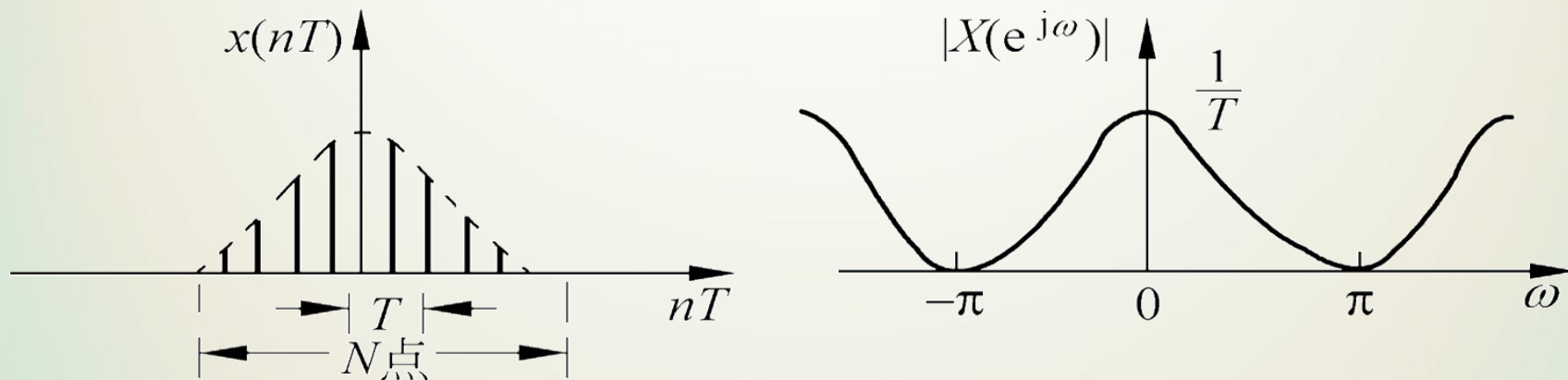
(a) 非周期连续时间信号的傅里叶变换



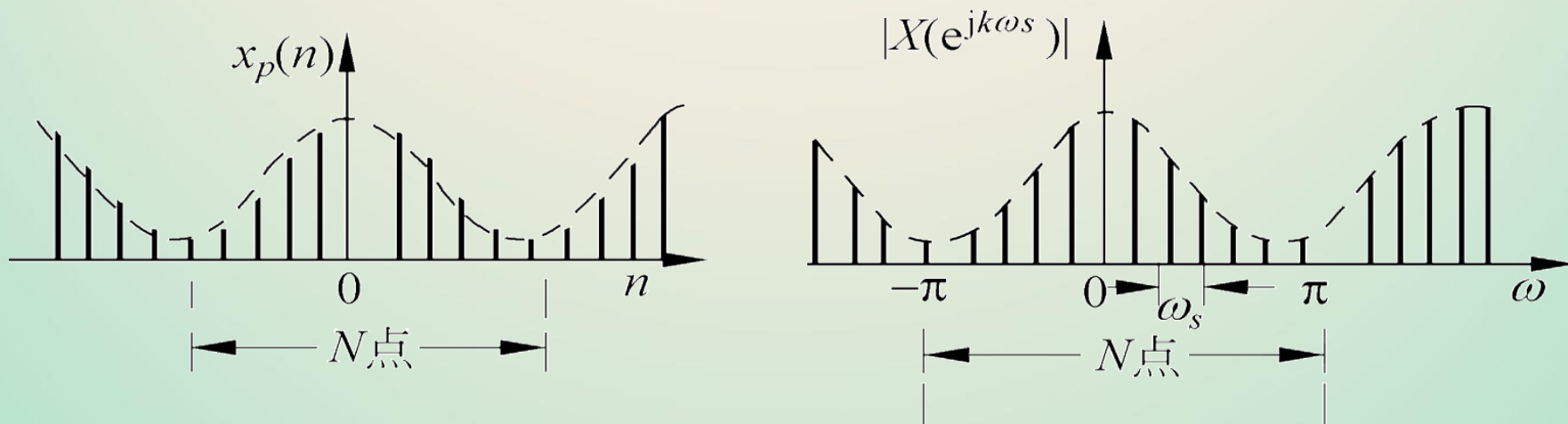
(b) 周期连续时间信号的傅里叶变换



各种形式的傅里叶变换示意图



(c) 序列的傅里叶变换



(d) 周期序列的傅里叶级数



傅里叶变换的一般规律

- 如果信号**频域**是**离散**的，则该信号在**时域**就表现为**周期性**的时间函数。
- 相反，在**时域**上是**离散**的，则该信号在**频域**必然表现为**周期性**的频率函数。
- 如果时域信号离散且是周期的，由于它时域离散，其频谱必是周期的，又由于时域是周期的，相应的频谱必是离散的，
- 离散周期序列一定具有既是周期又是离散的频谱，即时域和频域都是离散周期的。
- 得出一般的规律：**一个域的离散就必然造成另一个域的周期延拓。**



离散傅里叶变换的导出

- 由于数字计算机**只能计算有限长**离散的序列，因此**有限长序列**在数字信号处理中就显得很重要。
- Z变换和傅里叶变换**无法直接**利用计算机进行数值计算。
- 针对有限长序列“**时域有限**”这一特点，导出一种更有用的**离散傅里叶变换DFT** (Discrete Fourier Transform)。

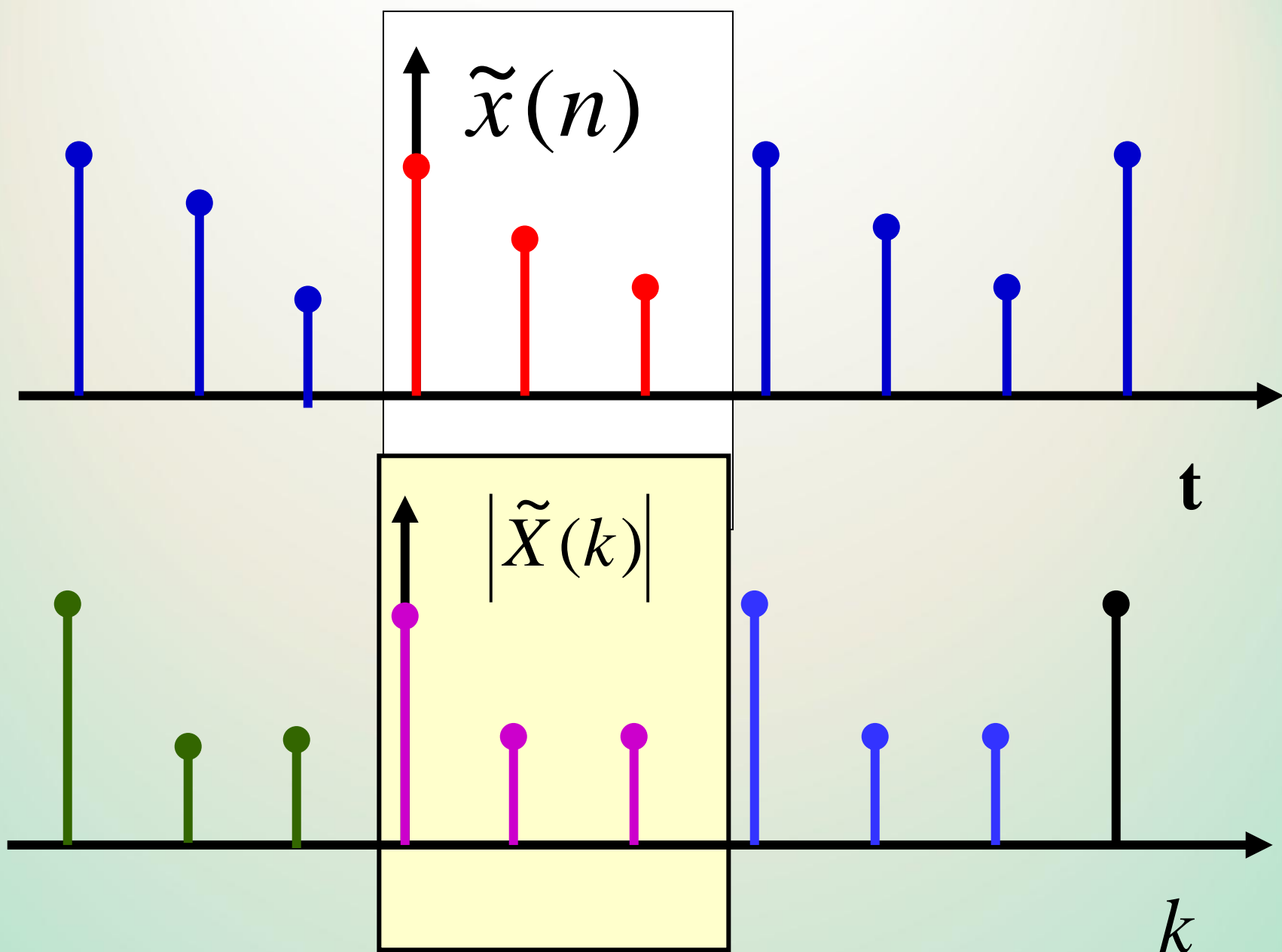


离散傅立叶级数

$$\left\{ \begin{array}{l} \tilde{X}(k) = \sum_{n=0}^{N-1} \tilde{x}(n) e^{-j\frac{2\pi}{N}kn} \quad -\infty < k < \infty \\ \tilde{x}(n) = \frac{1}{N} \sum_{k=0}^{N-1} \tilde{X}(k) e^{j\frac{2\pi}{N}kn} \quad -\infty < n < \infty \end{array} \right.$$

时域、频域都是离散的、周期的





时域（离散、周期）



频域（周期、离散）



3.1 离散傅里叶变换的定义

- DFT的定义
- DFT和 z 变换、序列的傅里叶变换的关系
- DFT的隐含周期性



3.1 离散傅立叶变换(DFT)

——有限长序列的离散频域表示

(一) DFT的定义

$$X(k) = DFT[x(n)]$$

$$= \sum_{n=0}^{N-1} x(n) W_N^{kn} R_N(k)$$

$$x(n) = IDFT[X(k)]$$

$$= \frac{1}{N} \sum_{k=0}^{N-1} X(k) W_N^{-kn} R_N(n)$$



§ 3.1 离散傅立叶变换 (DFT)

(一) DFT的定义

引入一个常用的符号

$$W_N = e^{-j\frac{2\pi}{N}}$$

N为离散傅立叶变换 (DFT) 的变换区间长度。

$$R_N(n) = \begin{cases} 1 & 0 \leq n \leq N-1 \\ 0 & \text{other } n \end{cases}$$



DFT的矩阵关系

$$\text{令 } x = [x(0), x(1), \dots, x(N-1)]^T,$$

$$X = [X(0), X(1), \dots, X(N-1)]^T$$

$$\text{DFT的定义 } X(k) = \sum_{n=0}^{N-1} x(n)W_N^{kn}, \quad 0 \leq k \leq N-1$$

可以重写为:

$$X = D_N x$$



DFT的矩阵关系

$$X(k) = \sum_{n=0}^{N-1} x(n)W_N^{kn}, \quad 0 \leq k \leq N-1$$

$$X = D_N x$$

其中 $D_N =$
$$\begin{bmatrix} 1 & 1 & 1 & \dots & 1 \\ 1 & W_N^1 & W_N^2 & \dots & W_N^{N-1} \\ 1 & W_N^2 & W_N^4 & \dots & W_N^{2(N-1)} \\ \vdots & \vdots & \vdots & \ddots & \vdots \\ 1 & W_N^{N-1} & W_N^{2(N-1)} & \dots & W_N^{(N-1) \times (N-1)} \end{bmatrix}$$

14



DFT的矩阵关系

类似的, IDFT 关系也可以表示为:

IDFT: $\mathbf{x} = \mathbf{D}_N^{-1} \mathbf{X}$

其中
$$\mathbf{D}_N^{-1} = \frac{1}{N} \begin{bmatrix} 1 & 1 & 1 & \dots & 1 \\ 1 & W_N^{-1} & W_N^{-2} & \dots & W_N^{-(N-1)} \\ 1 & W_N^{-2} & W_N^{-4} & \dots & W_N^{-2(N-1)} \\ \vdots & \vdots & \vdots & \ddots & \vdots \\ 1 & W_N^{-(N-1)} & W_N^{-2(N-1)} & \dots & W_N^{-(N-1) \times (N-1)} \end{bmatrix} = \frac{1}{N} \mathbf{D}_N^*$$



例3.1：设有限长序列为 $x(n)=R_4(n)$ ，求 $x(n)$ 的傅里叶变换，以及4点、8点、16点DFT。

解（1） $x(n)$ 的傅里叶变换

$$\begin{aligned} X(e^{j\omega}) &= \sum_{n=-\infty}^{+\infty} R_4(n) e^{-j\omega n} = \sum_{n=0}^3 e^{-j\omega n} = \frac{1 - e^{-j4\omega}}{1 - e^{-j\omega}} \\ &= \frac{e^{-j2\omega} (e^{j2\omega} - e^{-j2\omega})}{e^{-j\omega/2} (e^{j\omega/2} - e^{-j\omega/2})} \\ &= e^{-j3\omega/2} \frac{\sin(2\omega)}{\sin(\omega/2)} \end{aligned}$$



(2) $x(n)$ 的4点DFT

$$X_1(k) = \sum_{n=0}^3 x(n)W_4^{kn} = \sum_{n=0}^3 W_4^{kn} = \begin{cases} 4, & k = 0 \\ 0, & k = 1, 2, 3 \end{cases}$$

(3) $x(n)$ 的8点DFT

$$X_2(k) = \sum_{n=0}^7 x(n)W_8^{kn} = \sum_{n=0}^3 W_8^{kn}$$

$$= e^{-j\frac{3}{8}\pi k} \frac{\sin \frac{\pi}{2} k}{\sin \frac{\pi}{8} k} \quad k=0, 1, \dots, 7$$



(4) $x(n)$ 的16点DFT

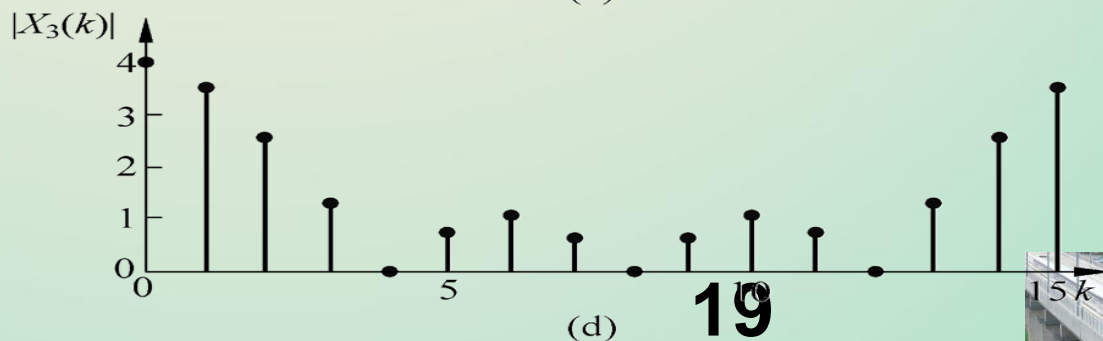
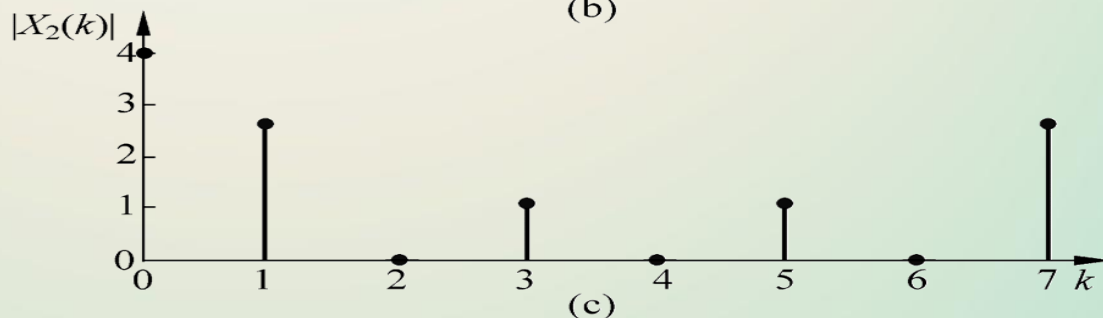
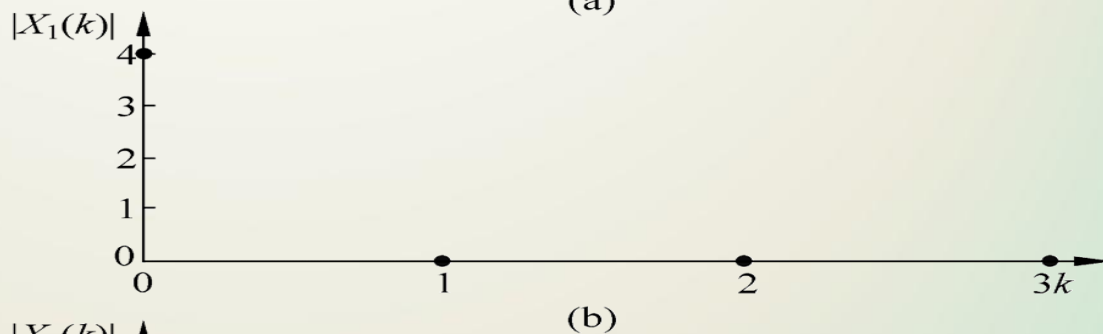
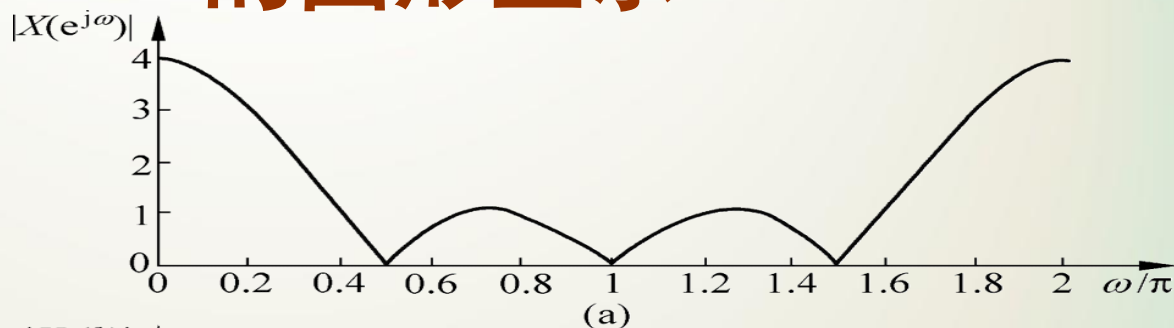
$$X_3(k) = \sum_{n=0}^{15} x(n)W_{16}^{kn} = \sum_{n=0}^3 W_{16}^{kn} = \sum_{n=0}^3 e^{-j\frac{2\pi}{16}kn}$$

$$= e^{-j\frac{3}{16}\pi k} \frac{\sin \frac{\pi}{4} k}{\sin \frac{\pi}{16} k} \quad k=0, 1, \dots, 15$$



例3. 1 的图形显示

- 同一序列不同点数的DFT是不相同的。
- $x(n)$ 的N点DFT是 $x(n)$ 的傅里叶变换 $X(e^{j\omega})$ 在区间 $[0, 2\pi]$ 上的N点等间隔取样。



§ 3.1 离散傅立叶变换 (DFT)

(二) DFT与Z变换的关系

$$X(z) = ZT[x(n)] = \sum_{n=0}^{N-1} x(n)z^{-n}$$

$$X(k) = DFT[x(n)] = \sum_{n=0}^{N-1} x(n)W_N^{kn}R_N(k)$$

$$X(k) = X(e^{j\omega}) \bigg|_{\omega = \frac{2\pi}{N}k}, 0 \leq k \leq N-1$$



§ 3.1 离散傅立叶变换 (DFT)

(二) DFT与Z变换的关系

$$X(k) = X(z) \Big|_{z=e^{j\frac{2\pi}{N}k}}, 0 \leq k \leq N-1$$

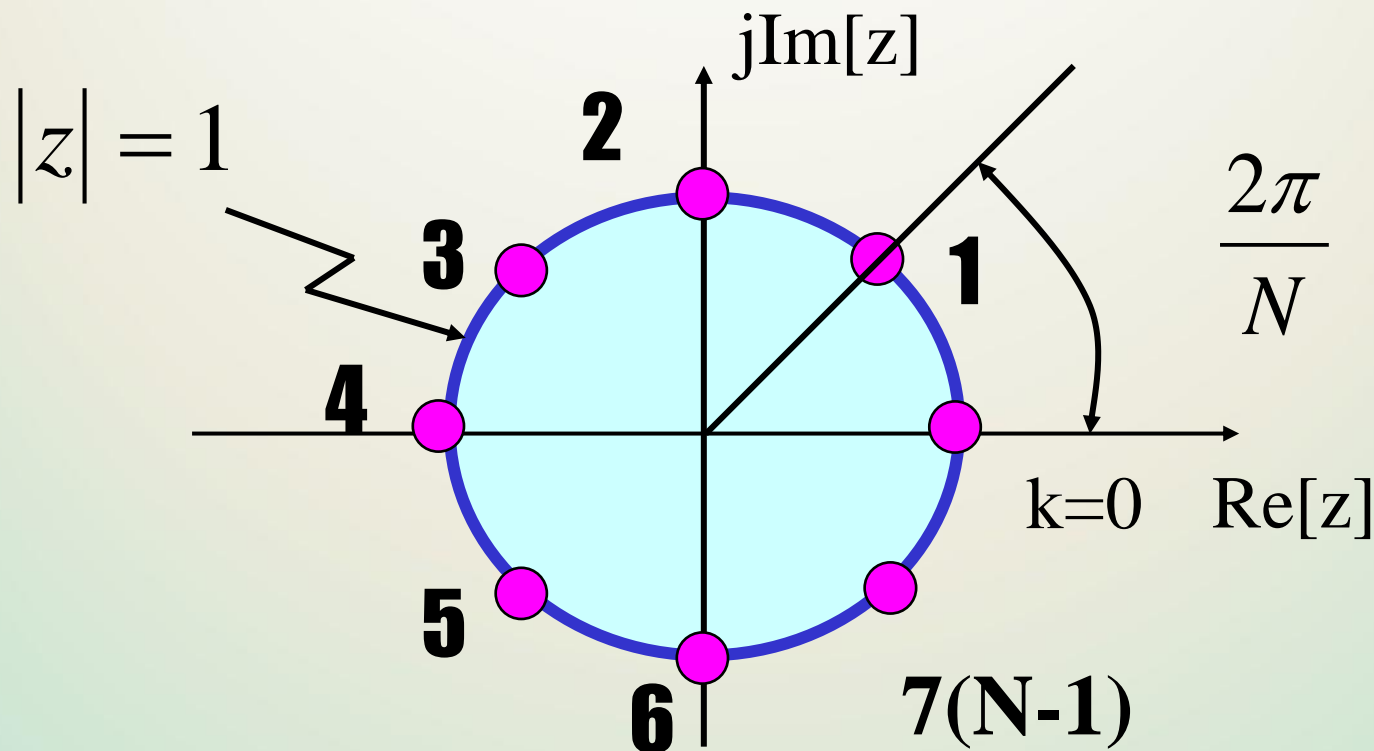
说明:

- $x(n)$ 的 N 点 DFT 是 $x(n)$ 的 Z 变换在单位圆上的 **N 点等间隔采样**。
- $X(k)$ 为 $x(n)$ 的傅立叶变换 $X(e^{j\omega})$ 在区间 $[0, 2\pi]$ 上的 **N 点等间隔采样**。



§ 3.1 离散傅立叶变换 (DFT)

(二) DFT与Z变换的关系



• $X(k)$ 是在 z 平面单位圆上的 N 个等间隔角点上对 $X(z)$ 的抽样；第一个抽样点为 $k=0$ ；即出现在 $z=1$ 处。



§ 3. 1 离散傅立叶变换 (DFT)

(三) DFT的隐含周期性

因为

$$W_N^k = W_N^{(k+mN)}, k, m, N \text{ 均为整数, } N \text{ 为自然数}$$

所以

$$\begin{aligned} X(k + mN) &= \sum_{n=0}^{N-1} x(n) W_N^{(k+mN)n} \\ &= \sum_{n=0}^{N-1} x(n) W_N^{kn} = X(k) \end{aligned}$$

§ 3.1 离散傅立叶变换 (DFT)

(三) DFT的隐含周期性

有限长序列与周期序列的关系

$$\tilde{x}(n) = \sum_{m=-\infty}^{\infty} x(n + mN) \quad (3.1.5)$$

$$x(n) = \tilde{x}(n) \cdot R_N(n) \quad (3.1.6)$$

说明:

任何周期为N的周期序列 $\tilde{x}(n)$ 都可以看成长度为N的有限长序列 $x(n)$ 的周期延拓;

$x(n)$ 称为 $\tilde{x}(n)$ 的主值序列。



§ 3.1 离散傅立叶变换 (DFT)

(三) DFT的隐含周期性

周期序列的术语

- ❖ 主值区间：周期序列 $\tilde{x}(n)$ 中从 $n=0$ 到 $N-1$ 的第一个周期。
- ❖ 主值序列：主值区间上的序列。
- ❖ 主值序列与相应的周期序列的关系可以简写如下

$$\tilde{x}(n) = x((n))_N$$



周期序列与周期延拓序列

为了简单，引入运算符 $((n))_N$ ，表示模 N 对 n 求余数，即如果

$$n = mN + n_1, \quad 0 \leq n_1 \leq N-1, \quad m \text{ 为整数}$$

则 $((n))_N = ((n_1 + mN))_N = n_1$

$x((n))_N$ 表示 $x(n)$ 是以 N 为周期的周期延拓序列

$((n))_N$ 表示 n 对 N 求余。



例：序列的周期延拓

例如， $N=8$ ， $\tilde{x}(n) = x((n))_8$ ，则有

$$\tilde{x}(-1) = x((-1))_8 = x((7-8))_N = x(7)$$

$$\tilde{x}(9) = x((9))_8 = x(1)$$

于是

$$\tilde{x}(n) = \sum_{m=-\infty}^{\infty} x(n + mN) = x((n))_N$$



§ 3.2 DFT的基本性质

- 线性性质
- 循环移位性质
- 循环卷积定理
- 复共轭序列的DFT
- DFT的共轭对称性



§ 3.2 DFT的基本性质

3.2.1 线性性质

设 $x_1(n)$ 和 $x_2(n)$ 长度分别为 N_1 和 N_2 , 且

$$y(n) = ax_1(n) + bx_2(n)$$

取 $N = \max[N_1, N_2]$, 则 $y(n)$ 的 N 点DFT为

$$Y(k) = DFT[y(n)] = aX_1(k) + bX_2(k) \quad 0 \leq k \leq N-1$$

注意: 如果 N_1 和 N_2 不相等, 则以 N 为DFT变换长度时, 其中**相对较短的序列**就通过补零增加到长度为 N 。



3.2.2 循环移位性质

1. 序列的循环移位（圆周移位）

设 $x(n)$ 为有限长序列，长度为 N ，则 $x(n)$ 的循环移位定义为

$$y(n) = x((n + m))_N R_N(n)$$

循环移位的过程：

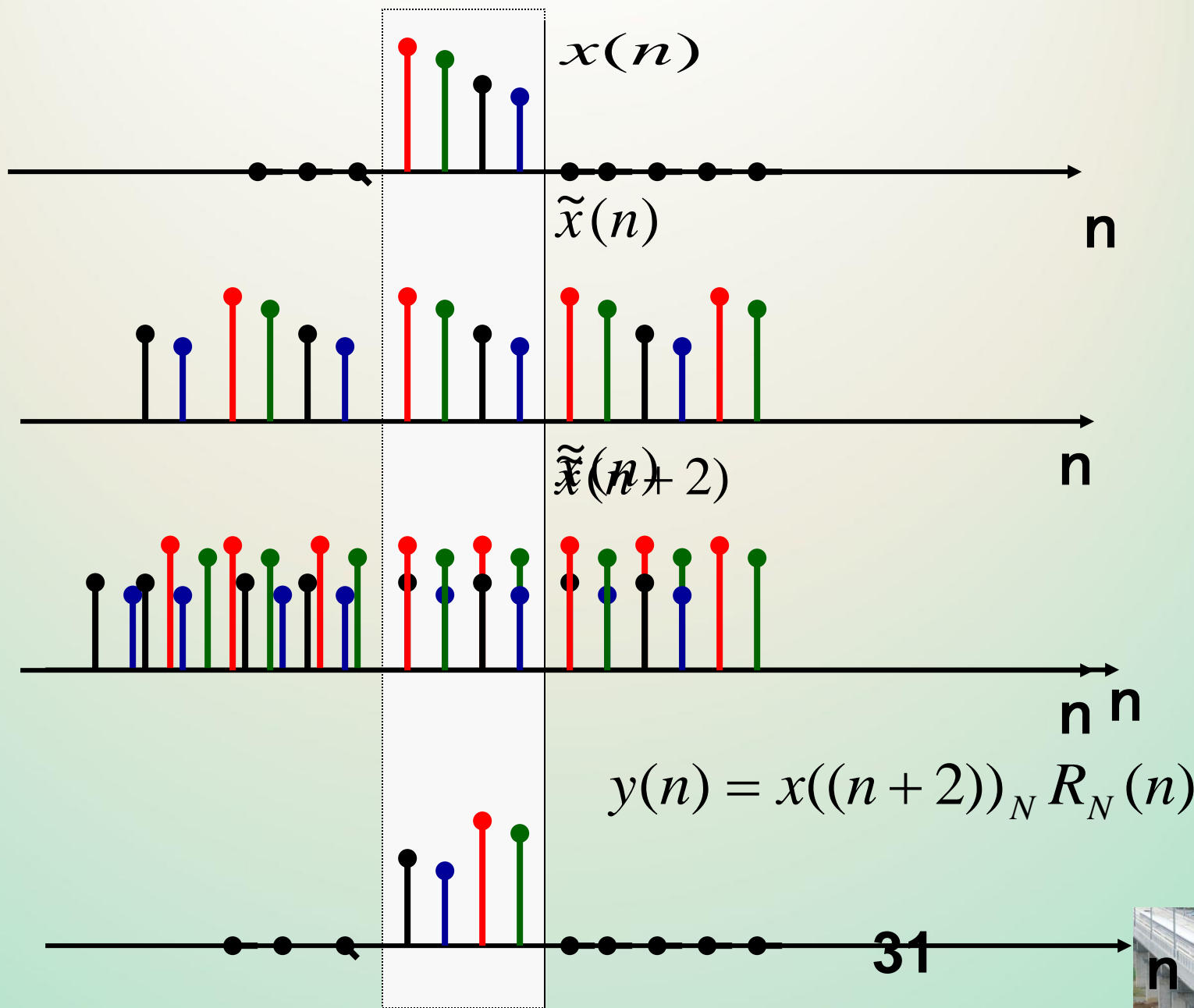
用序列的长度 N 为周期将其延拓成周期序列，将此周期序列加以移位，然后取主值区间上的序列值。



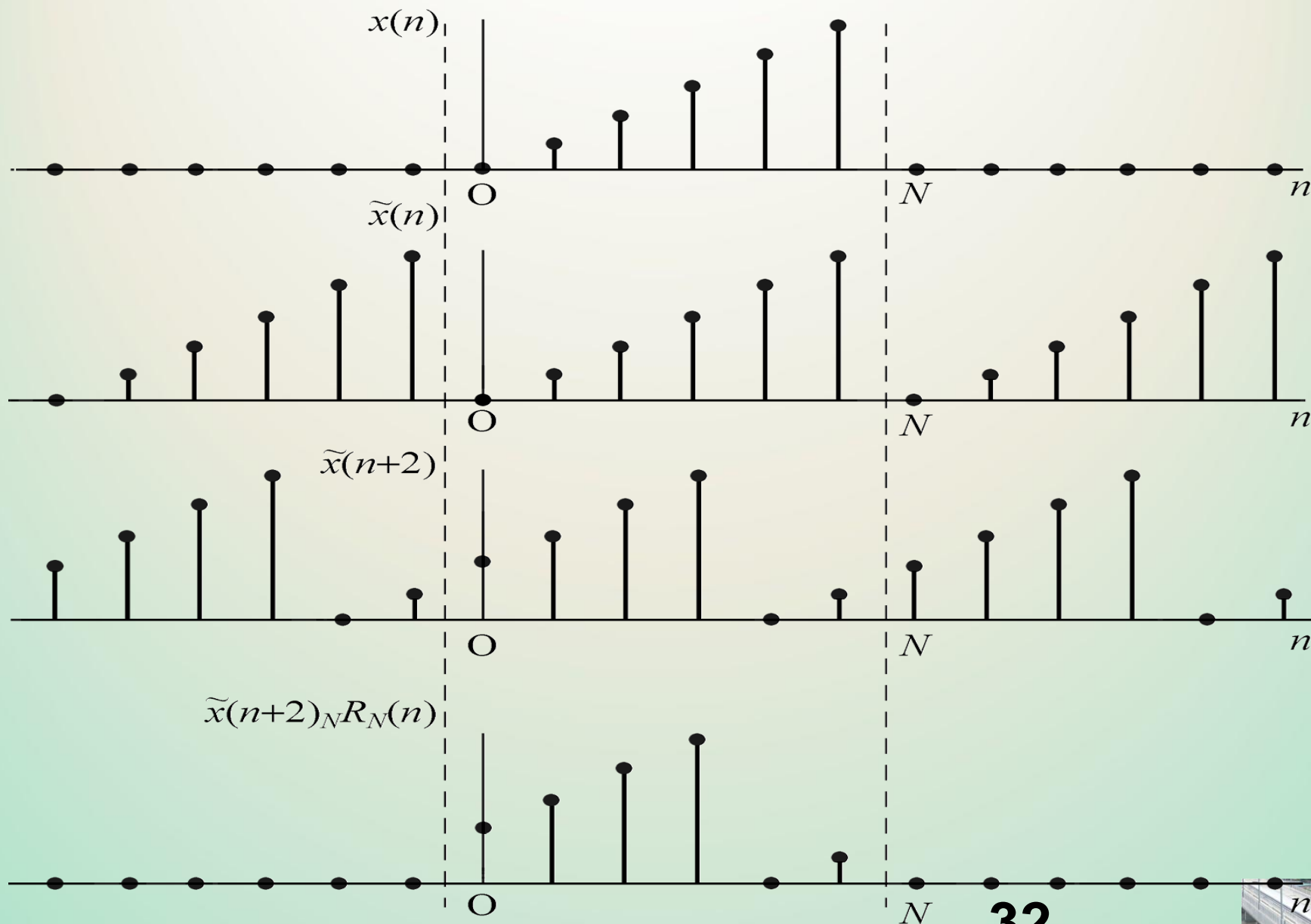
循环移位的过程示意图

§ 3.2

DFT的基本性质



• 1、序列的循环移位



3. 2. 2 循环移位性质

2. 时域循环移位定理

若

$$y(n) = x((n + m))_N R_N(n)$$

则

$$Y(k) = DFT[y(n)] = W_N^{-km} X(k)$$

有限长序列的**圆周移位**在频域中只引入一个和频率成正比的线性相移

$$W_N^{-km} = e^{j\frac{2\pi}{N}km}$$

对频谱的幅度没有影响。



时域循环移位定理证明

- 证明

$$\begin{aligned} Y(k) &= DFT[y(n)] = \sum_{n=0}^{N-1} x((n+m))_N R_N(n) W_N^{kn} \\ &= \sum_{n=0}^{N-1} x((n+m))_N W_N^{kn} \end{aligned}$$

令 $n+m=n'$ ，则有

$$\begin{aligned} Y(k) &= \sum_{n'=m}^{N-1+m} x((n'))_N W_N^{k(n'-m)} = W_N^{-km} \sum_{n'=m}^{N-1+m} x((n'))_N W_N^{kn'} \\ &= W_N^{-km} \sum_{n'=0}^{N-1} x(n') W_N^{kn'} = W_N^{-km} X(k) \end{aligned}$$



3.2.2 循环移位性质

3. 频域循环移位定理

如果 $X(k) = DFT[x(n)]R_N(k)$

$$Y(k) = X((K + l))_N R_N(k)$$

则 $y(n) = IDFT[Y(k)] = W_N^{nl} x(n)$

- 时域序列的调制等效于频域的圆周移位。
- 即 $x(n)$ 乘以 W_N^{nl} ，则离散傅立叶变换向左圆周移位 l 位， $W_N^{nl} x(n)$ 相当于将 $x(n)$ 进行复调制，其结果使整个频谱产生搬移。



3. 2. 3 循环卷积定理

1、两个有限长序列的循环卷积

设序列 $h(n)$ 和 $x(n)$ 的长度分别为 N 和 M 。

$h(n)$ 与 $x(n)$ 的 L 点循环卷积定义为

$$y_c(n) = \left[\sum_{m=0}^{L-1} h(m) x((n-m))_L \right] R_L(n)$$

$$y_c(n) = x(n) \textcircled{L} h(n)$$

式中, $L \geq \max [N, M]$ 。



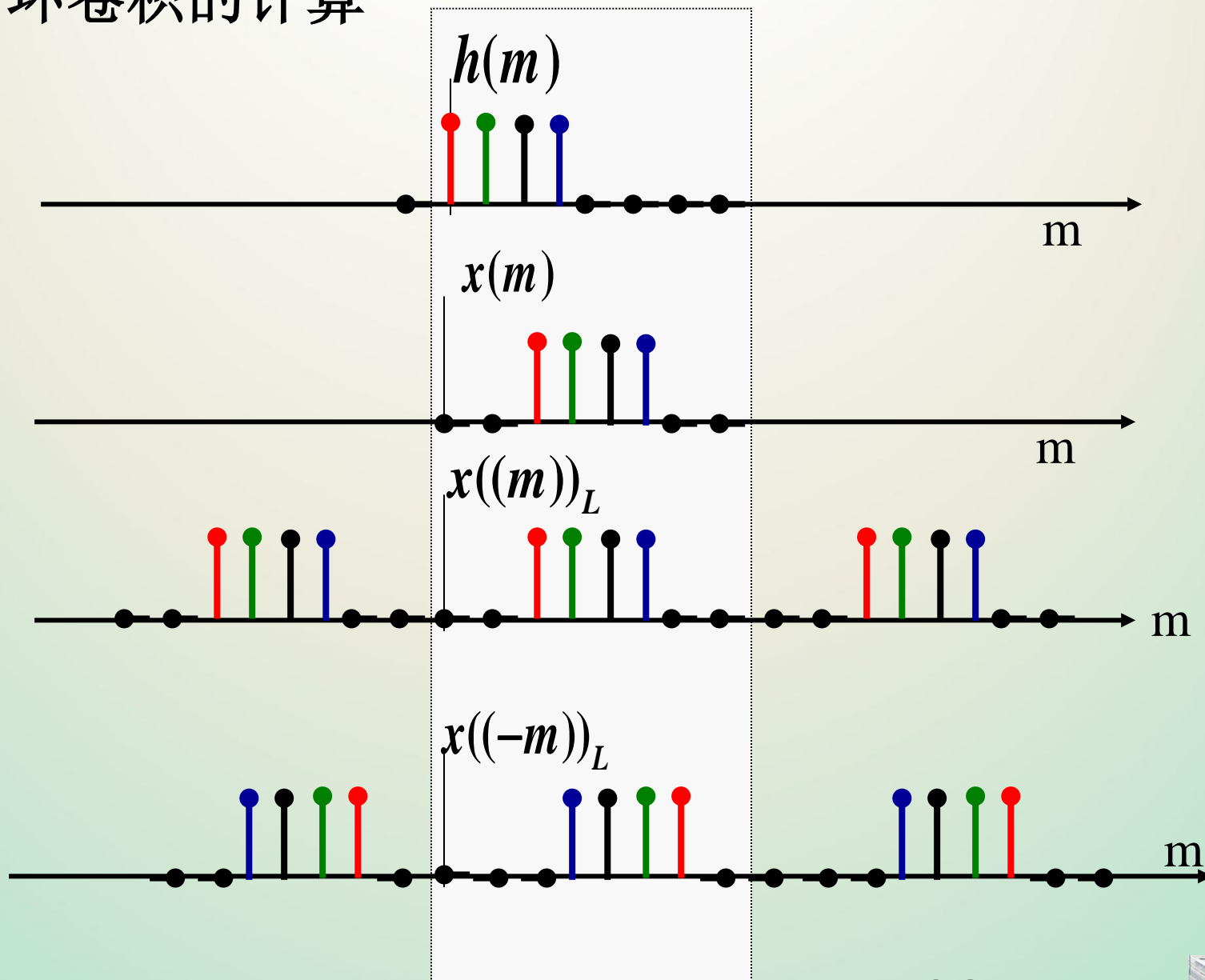
图解法:

$$y_c(n) = \left[\sum_{m=0}^{L-1} h(m) x((n-m))_L \right] R_L(n)$$

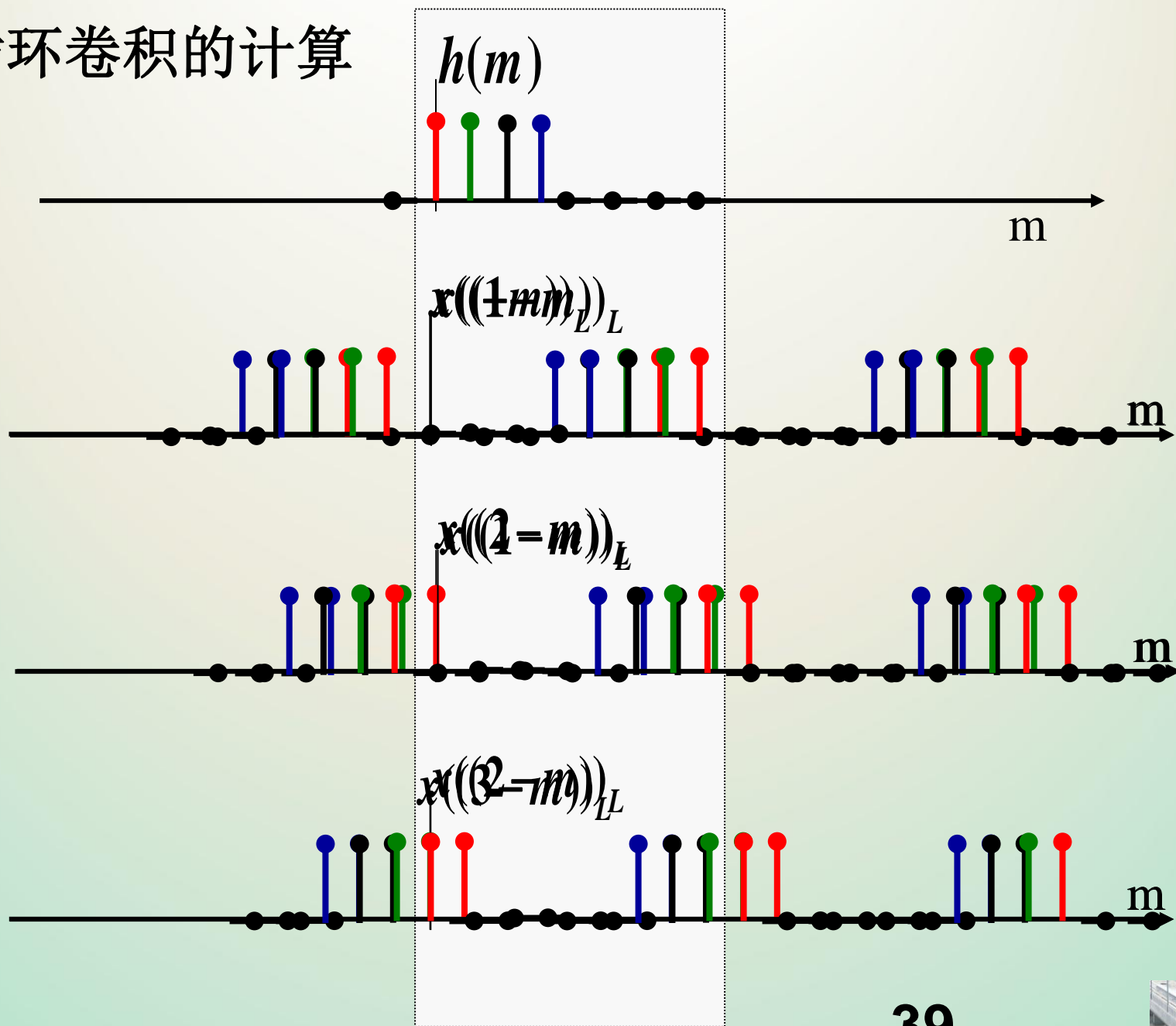
- 画出 $h(m)$ 与 $x(m)$
- 将 $x(m)$ 周期化得到 $x((m))_L$
- 再反转形成 $x((-m))_L$
- 取主值序列得到 $x((-m))_L R_L(m)$
- 对 $x(m)$ 循环反转序列循环移位 n , 得到 $x((n-m))_L R_L(m)$
- 当 $n=0,1,\dots,N-1$ 时, 分别将 $h(m)$ 与 $x((n-m))_L R_L(m)$ 相乘, 并对 m 在 $0\sim(N-1)$ 区间上求和, 得到的 $h(n)$ 与 $x(n)$ 循环卷积



循环卷积的计算



循环卷积的计算



矩阵法:

$$y_c(n) = \left[\sum_{m=0}^{L-1} h(m)x((n-m))_L \right] R_L(n)$$

$$\begin{bmatrix} y_c(0) \\ y_c(1) \\ y_c(2) \\ \vdots \\ y_c(N-1) \end{bmatrix} = \begin{bmatrix} x(0) & x(L-1) & x(L-2) & \cdots & x(1) \\ x(1) & x(0) & x(L-1) & \cdots & x(2) \\ x(2) & x(1) & x(0) & \cdots & x(3) \\ \vdots & \vdots & \vdots & \ddots & \vdots \\ x(L-1) & x(L-2) & x(L-3) & \cdots & x(0) \end{bmatrix} \begin{bmatrix} h(0) \\ h(1) \\ h(2) \\ \vdots \\ h(L-1) \end{bmatrix}$$

矩阵中每一行的元素，都是将上一行元素向右
圆周移位一位得到的。



【例3.2.1】计算下面给出的两个长度为4的序列 $h(n)$ 与 $x(n)$ 的4点和8点循环卷积。

$$x(n) = \{x(0), x(1), x(2), x(3)\} = \{1, 2, 3, 4\}$$

$$h(n) = \{h(0), h(1), h(2), h(3)\} = \{1, 1, 1, 1\}$$

解 $h(n)$ 与 $x(n)$ 的4点循环卷积矩阵形式为

$$\begin{bmatrix} y_c(0) \\ y_c(1) \\ y_c(2) \\ y_c(3) \end{bmatrix} = \begin{bmatrix} 1 & 4 & 3 & 2 \\ 2 & 1 & 4 & 3 \\ 3 & 2 & 1 & 4 \\ 4 & 3 & 2 & 1 \end{bmatrix} \begin{bmatrix} 1 \\ 1 \\ 1 \\ 1 \end{bmatrix} = \begin{bmatrix} 10 \\ 10 \\ 10 \\ 10 \end{bmatrix}$$

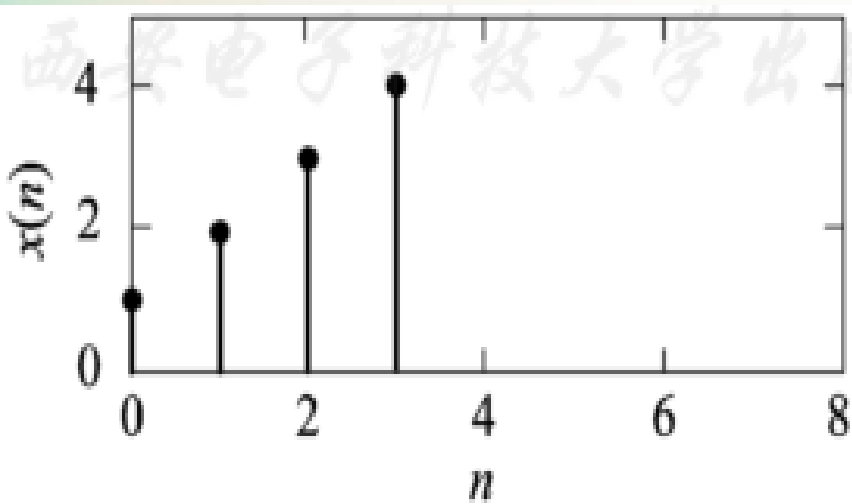
41



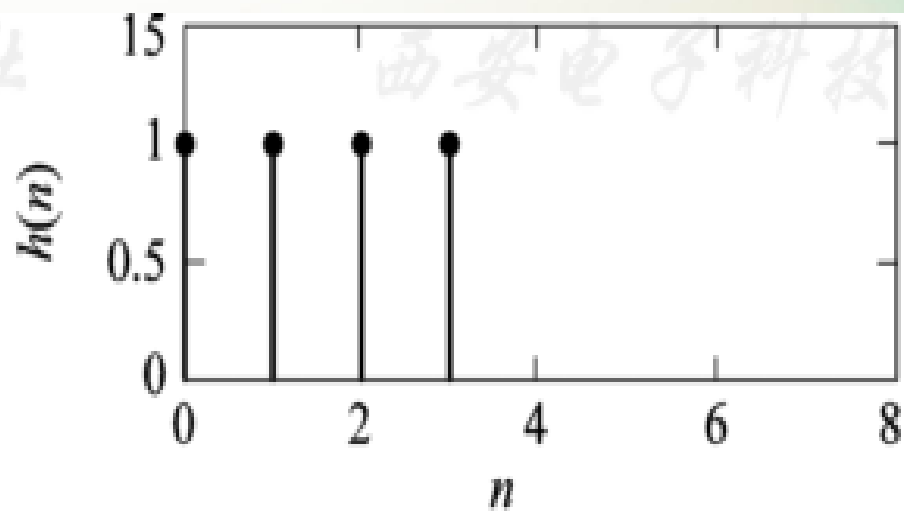
$h(n)$ 与 $x(n)$ 的8点循环卷积矩阵形式为

$$\begin{bmatrix} y_c(0) \\ y_c(1) \\ y_c(2) \\ y_c(3) \\ y_c(4) \\ y_c(5) \\ y_c(6) \\ y_c(7) \end{bmatrix} = \begin{bmatrix} 1 & 0 & 0 & 0 & 0 & 4 & 3 & 2 \\ 2 & 1 & 0 & 0 & 0 & 0 & 4 & 3 \\ 3 & 2 & 1 & 0 & 0 & 0 & 0 & 4 \\ 4 & 3 & 2 & 1 & 0 & 0 & 0 & 0 \\ 0 & 4 & 3 & 2 & 1 & 0 & 0 & 0 \\ 0 & 0 & 4 & 3 & 2 & 1 & 0 & 0 \\ 0 & 0 & 0 & 4 & 3 & 2 & 1 & 0 \\ 0 & 0 & 0 & 0 & 4 & 3 & 2 & 1 \end{bmatrix} \begin{bmatrix} 1 \\ 1 \\ 1 \\ 1 \\ 0 \\ 0 \\ 0 \\ 0 \end{bmatrix} = \begin{bmatrix} 1 \\ 3 \\ 6 \\ 10 \\ 9 \\ 7 \\ 4 \\ 0 \end{bmatrix}$$

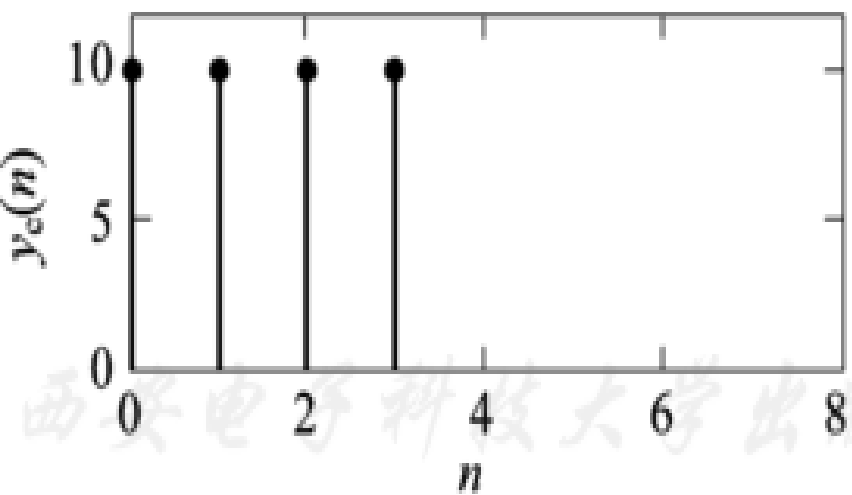




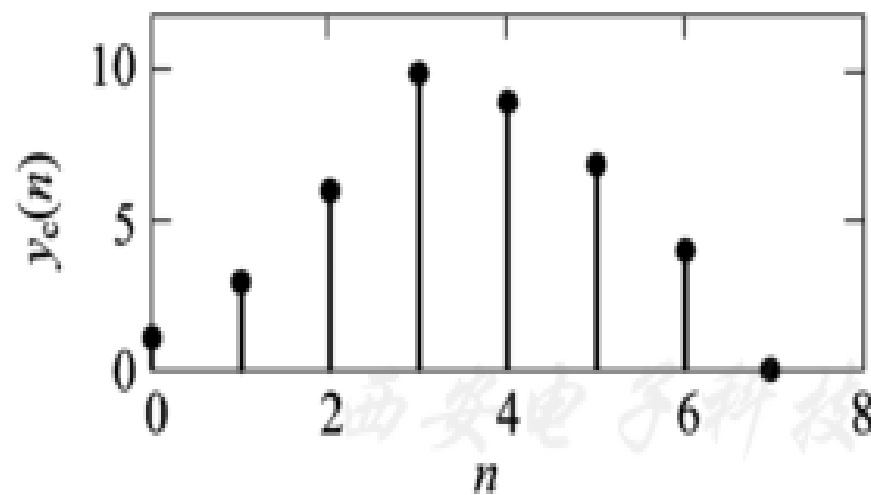
(a) $x(n)$



(b) $h(n)$



(c) 4 点循环卷积



(d) 8 点循环卷积

【例3.2.1】的另一种解法：

$$x(n) = \{x(0), x(1), x(2), x(3)\} = \{1, 2, 3, 4\}$$

$$h(n) = \{h(0), h(1), h(2), h(3)\} = \{1, 1, 1, 1\}$$

$$y_C(n) = x(n) \textcircled{4} h(n) = \sum_{m=0}^3 h(m) x((n-m))_4], \quad 0 \leq n \leq 3$$

由上我们得到：

$$x((-m))_4 = [x[0] \quad x[3] \quad x[2] \quad x[1]] = [1 \quad 4 \quad 3 \quad 2]$$

$$y_C(0) = \sum_{m=0}^3 h(m) x((-m))_4$$

$$= h(0) x(0) + h(1) x(3) + h(2) x(2) + h(3) x(1)$$

$$= (1 \times 1) + (1 \times 4) + (1 \times 3) + (1 \times 2) = 10$$



- **同样** $x((1-m))_4 = [x[1] \ x[0] \ x[3] \ x[2]] = [2 \ 1 \ 4 \ 3]$

$$y_C(1) = \sum_{m=0}^3 h(m) x((1-m))_4$$

$$= h[0]x[1] + h[1]x[0] + h[2]x[3] + h[3]x[2]$$

$$= (1 \times 2) + (1 \times 1) + (1 \times 4) + (1 \times 3) = 10$$

$$x((2-m))_4 = [x[2] \ x[1] \ x[0] \ x[3]] = [3 \ 2 \ 1 \ 4]$$

$$y_C(2) = \sum_{m=0}^3 h(m) x((2-m))_4$$

$$= h[0]x[2] + h[1]x[1] + h[2]x[0] + h[3]x[3]$$

$$= (1 \times 3) + (1 \times 2) + (1 \times 1) + (1 \times 4) = 10$$

45

...略



§ 3. 2. 3 循环卷积定理

2. 时域循环卷积定理

有限长序列 $x_1(n)$ 和 $x_2(n)$ 的长度分别为 N_1 和 N_2 ,
 $N=\max [N_1, N_2]$, $x_1(n)$ 和 $x_2(n)$ 的 N 点循环卷积为

$$\begin{aligned} x(n) = x_1(n) \textcircled{N} x_2(n) &= \sum_{m=0}^{N-1} x_1(m) x_2((n-m))_N R_N(n) \\ &= \sum_{m=0}^{N-1} x_2(m) x_1((n-m))_N R_N(n) \end{aligned}$$

则 $x(n)$ 的 N 点DFT为

$$X(k) = DFT[x(n)] = X_1(k) \cdot X_2(k)$$

其中, $X_1(k) = DFT[x_1(n)], X_2(k) = DFT[x_2(n)]$



循环卷积定理证明

• 证明 $X(k) = DFT[x(n)]$

$$= \sum_{n=0}^{N-1} \left[\sum_{m=0}^{N-1} x_1(m) x_2((n-m))_N R_N(n) \right] W_N^{kn}$$

$$= \sum_{m=0}^{N-1} x_1(m) \sum_{n=0}^{N-1} x_2((n-m))_N W_N^{kn}$$

令 $n-m=n'$, 则有 $X(k) = \sum_{m=0}^{N-1} x_1(m) \sum_{n'=-m}^{N-1-m} x_2((n'))_N W_N^{k(n'+m)}$

$$= \sum_{m=0}^{N-1} x_1(m) W_N^{km} \cdot \sum_{n'=-m}^{N-1-m} x_2((n'))_N W_N^{kn'}$$



时域循环移位定理讨论

$$= \sum_{m=0}^{N-1} x_1(m) W_N^{km} \cdot \sum_{n'=-m}^{N-1-m} x_2((n'))_N W_N^{kn'}$$

因为上式中 $x_2((n'))_N W_N^{kn'}$ 以 N 为周期，所以对其在任一周期上的求和结果不变，因此

$$\begin{aligned} X(k) &= \sum_{m=0}^{N-1} x_1(m) W_N^{km} \cdot \sum_{n'=0}^{N-1} x_2(n') W_N^{kn'} \\ &= X_1(k) \cdot X_2(k) \quad 0 \leq k \leq N-1 \end{aligned}$$



§ 3. 2. 3 循环卷积定理

3. 频域循环卷积定理

如果 $x(n) = x_1(n) \cdot x_2(n)$

则
$$X(k) = DFT[x(n)] = \frac{1}{N} X_1(k) \textcircled{N} X_2(k)$$

$$= \frac{1}{N} \sum_{l=0}^{N-1} X_1(l) X_2((k-l))_N R_N(k)$$

或

$$X(k) = \frac{1}{N} X_2(k) \textcircled{N} X_1(k) = \frac{1}{N} \sum_{l=0}^{N-1} X_2(l) X_1((k-l))_N R_N(k)$$



§ 3.2 DFT的基本性质

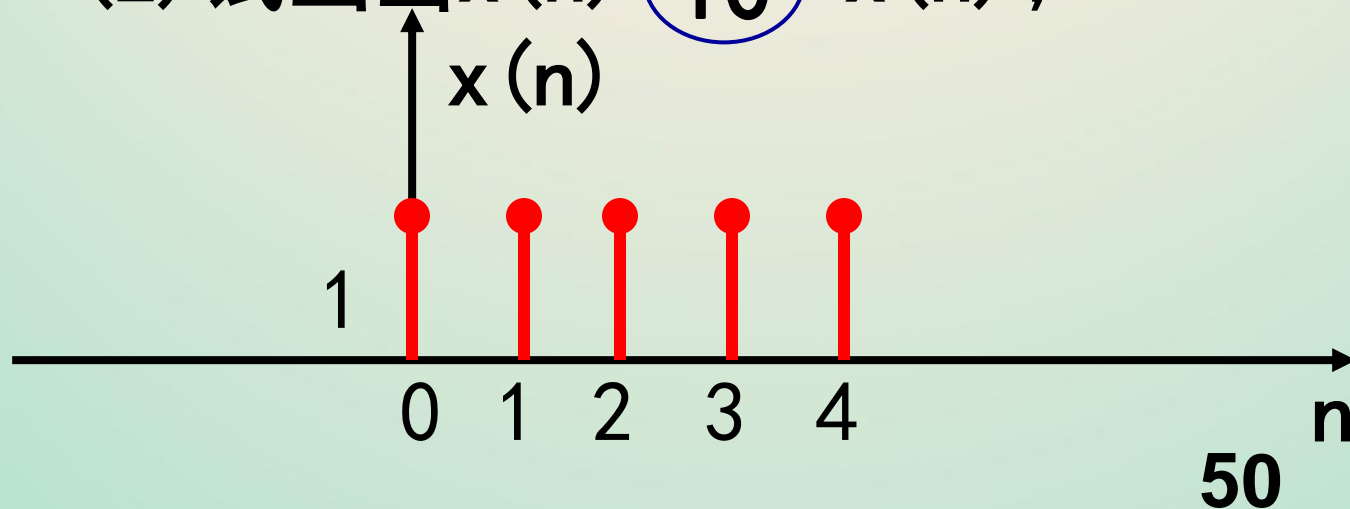
练习

- 如下图所示的5点序列 $x(n)$

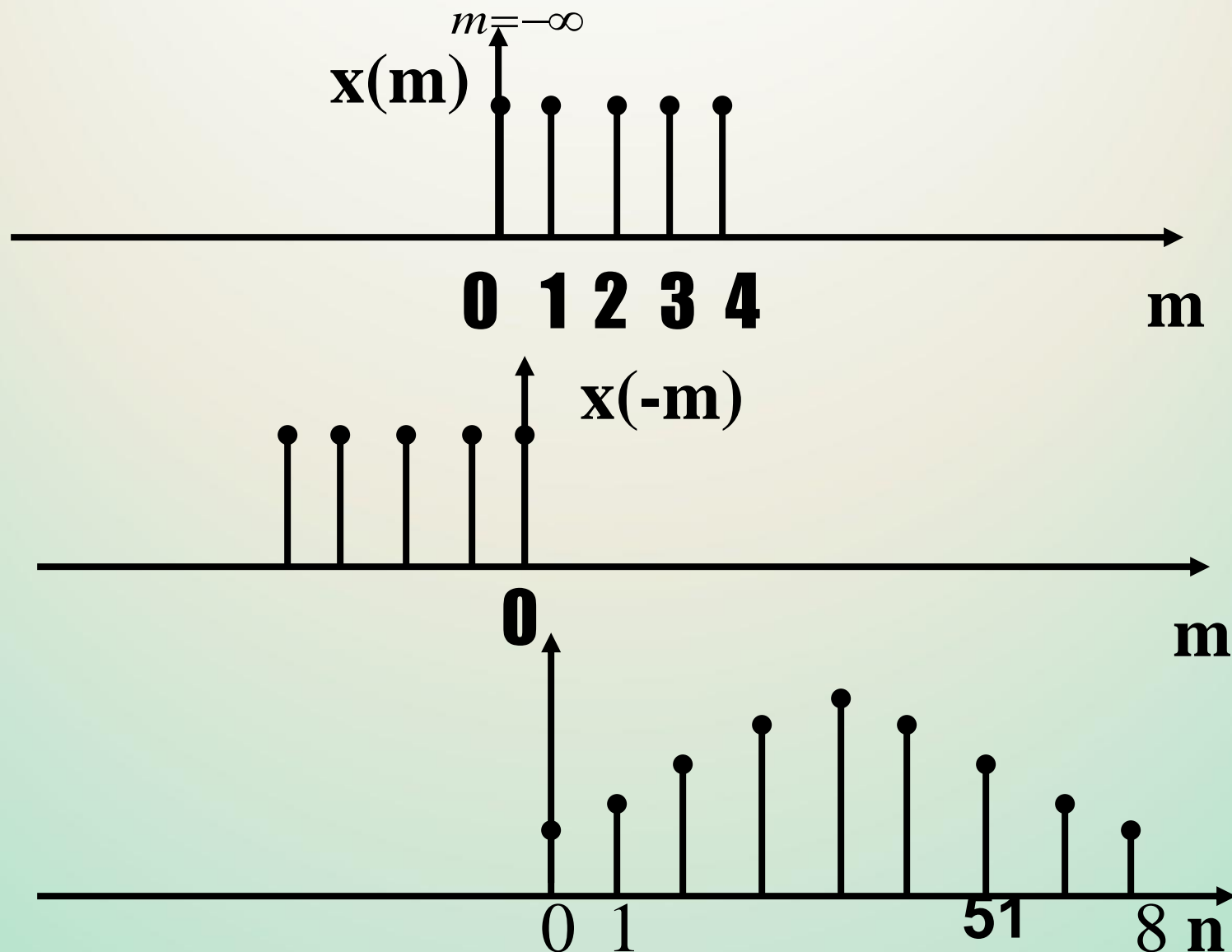
(1) 试画出 $x(n) * x(n)$;

(2) 试画出 $x(n)$ $\textcircled{5}$ $x(n)$;

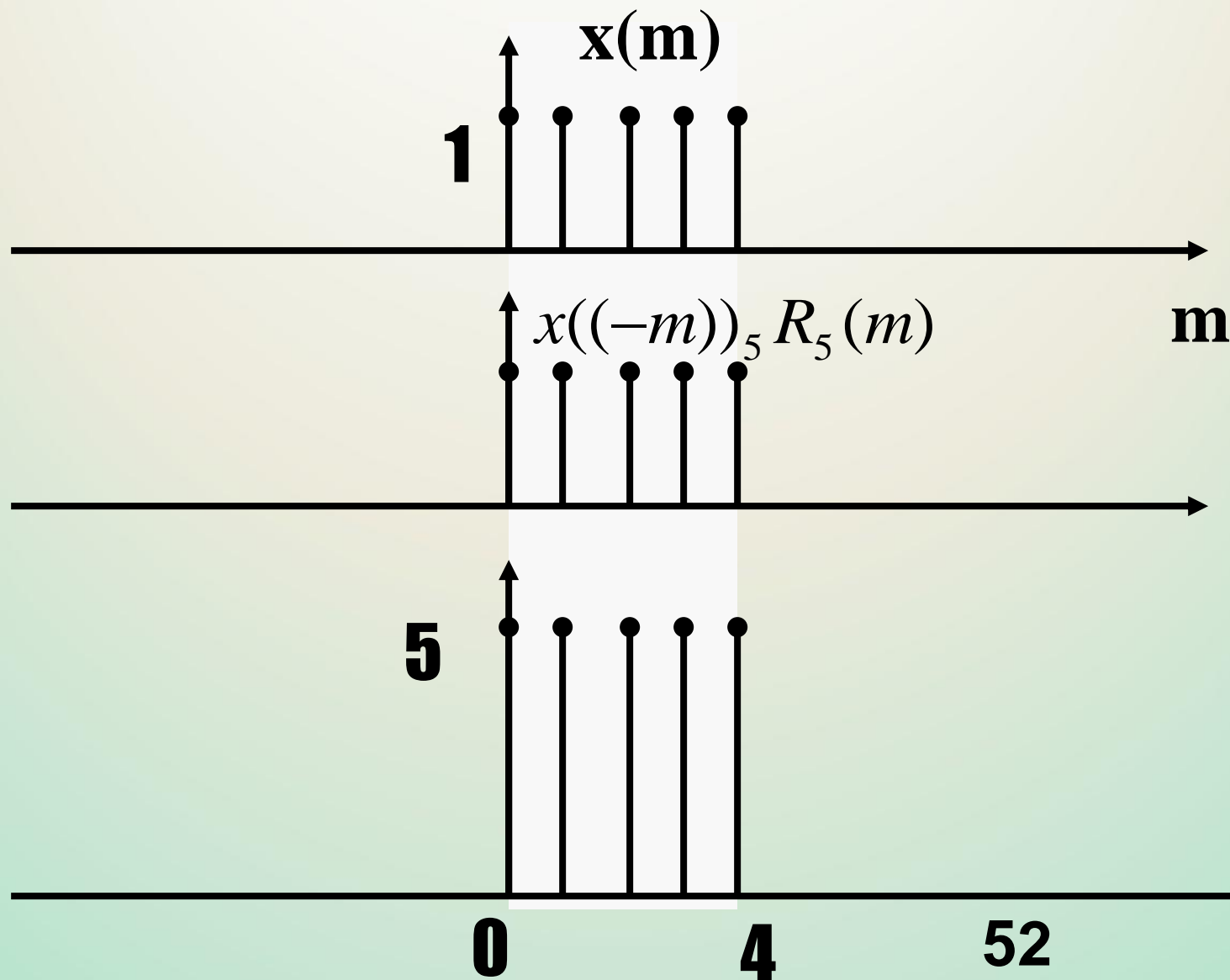
(2) 试画出 $x(n)$ $\textcircled{10}$ $x(n)$;



$$x(n) * x(n) = \sum_{m=-\infty}^{\infty} x(m) X(n-m)$$

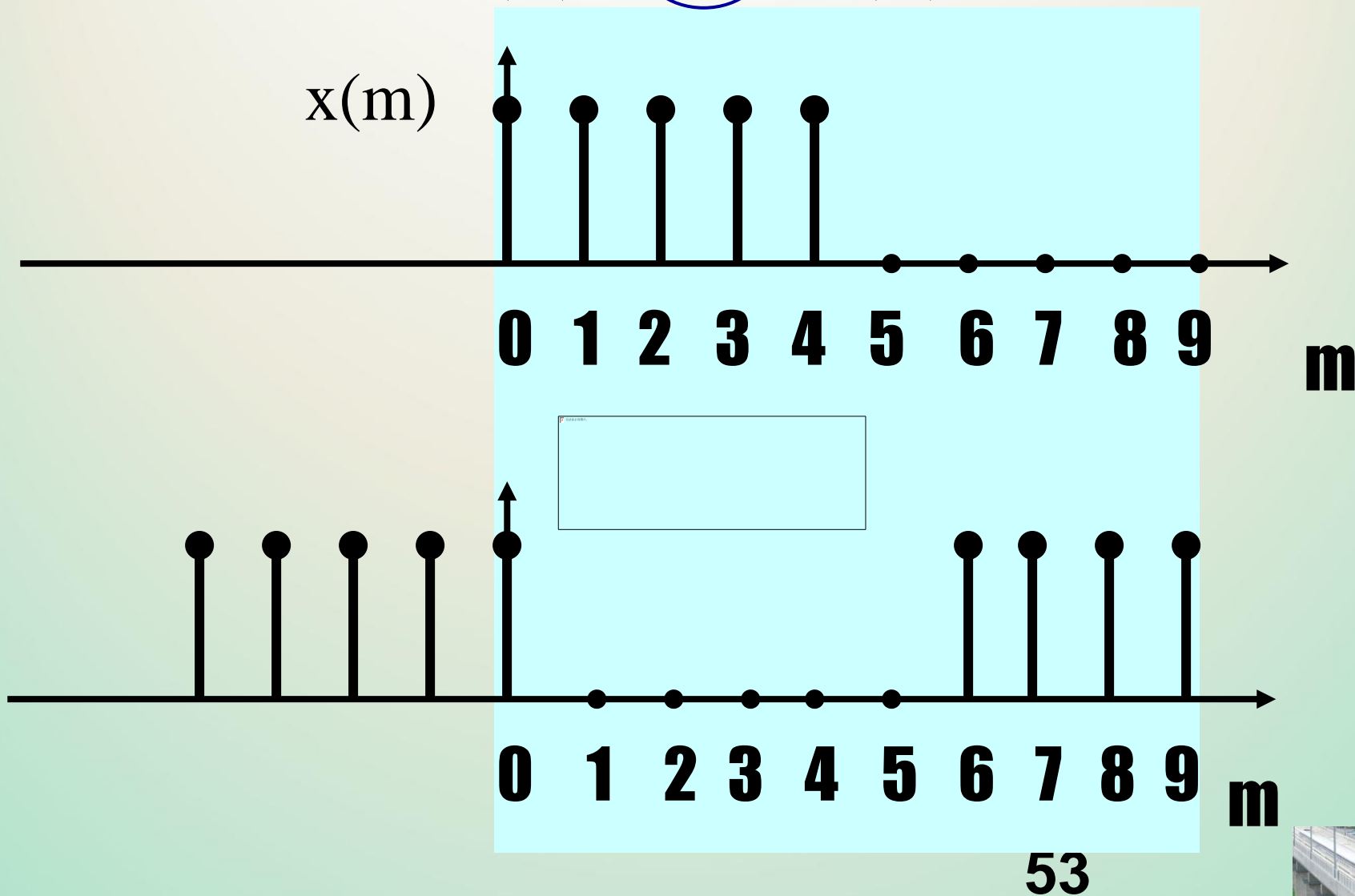


$$x(n) \quad \textcircled{5} \quad x(n)$$

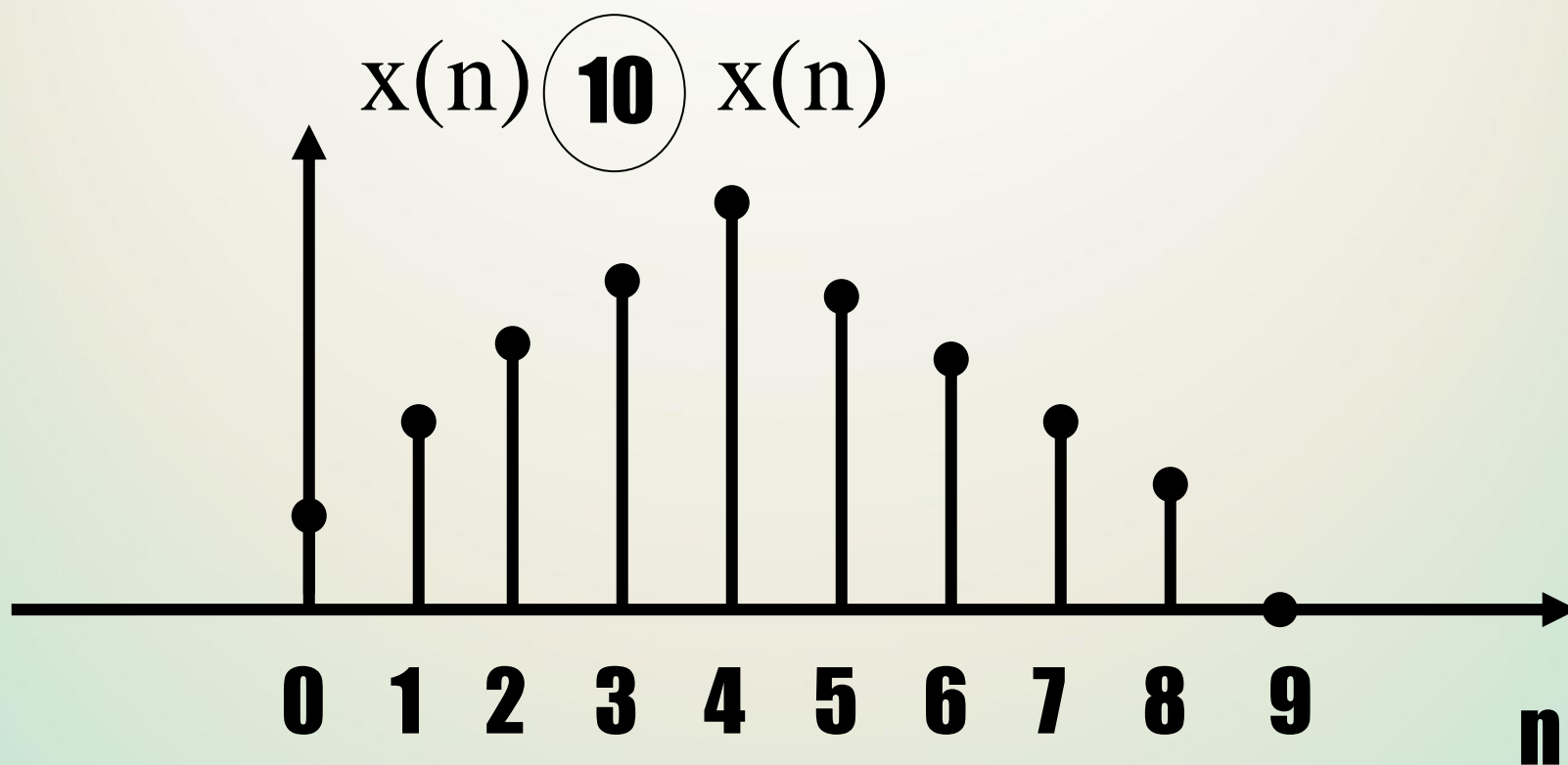


$x(n)$ **10** $x(n)$

$x(m)$



§ 3.2 DFT的基本性质



3. 2. 4复共轭序列的DFT

❖ 设 $x^*(n)$ 是 $x(n)$ 的复共轭序列，长度为 N

$$X(k) = DFT[x(n)]$$

则 $DFT[x^*(n)] = X^*(N-k), \quad 0 \leq k \leq N-1$

且 $X(N) = X(0)$

同理 $DFT[x^*(N-n)] = X^*(k)$



3.2.5 DFT的共轭对称性

1. 有限长共轭对称序列和共轭反对称序列

有限长共轭对称序列

$$x_{ep}(n) = x_{ep}^*(N - n), 0 \leq n \leq N - 1$$

$$x_{op}(n) = -x_{op}^*(N - n), 0 \leq n \leq N - 1$$

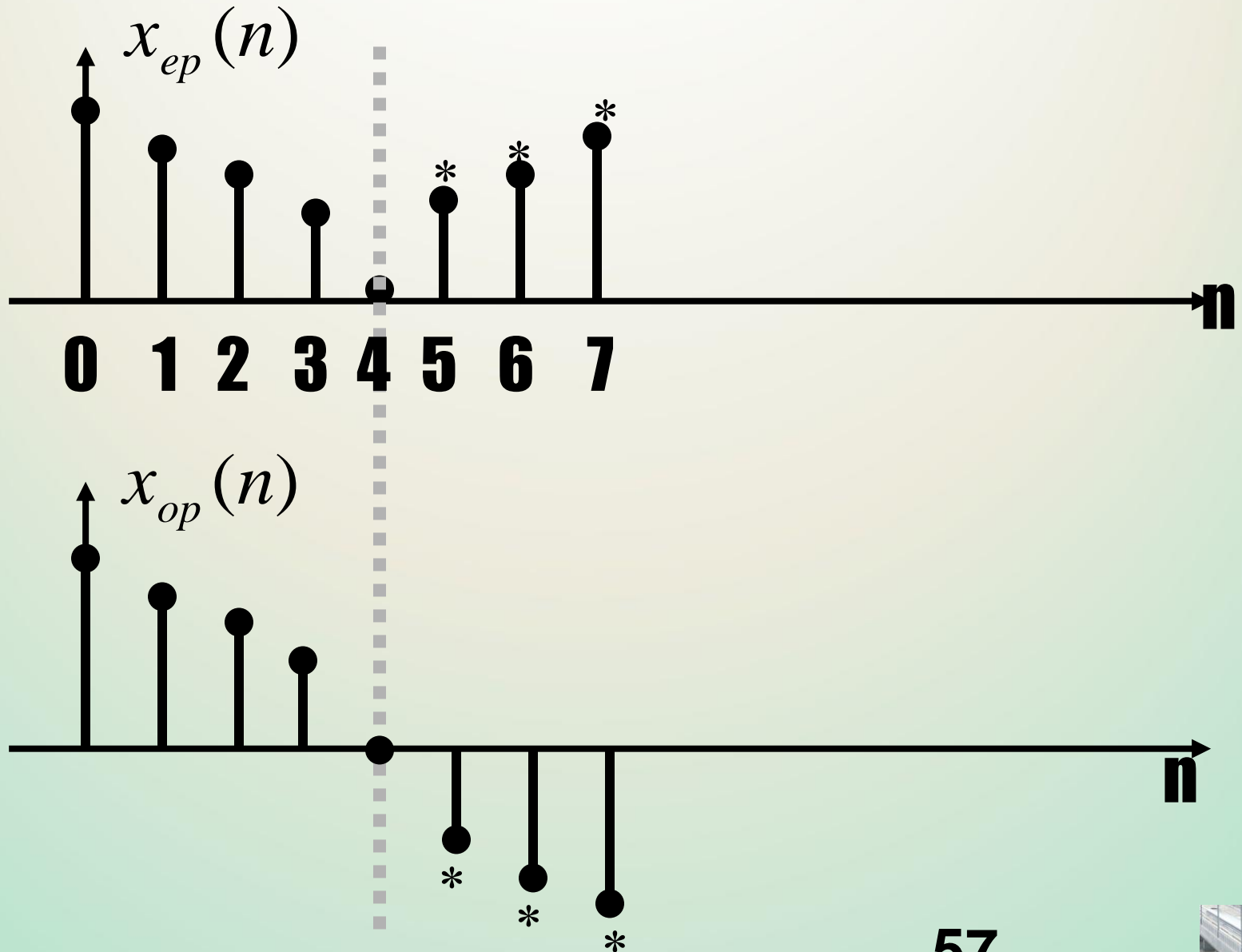
当N为偶数时，将上式中的n换成N/2-n，得

$$x_{ep}(N/2 - n) = x_{ep}^*(N/2 + n), 0 \leq n \leq N/2 - 1$$

$$x_{op}(N/2 - n) = -x_{op}^*(N/2 + n), 0 \leq n \leq N/2 - 1$$



3.2.5 DFT的共轭对称性



3.2.5 DFT的共轭对称性

任一有限长序列 $x(n)$ 可以表示如下

$$x(n) = x_{ep}(n) + x_{op}(n), \quad 0 \leq n \leq N-1$$

其中,

$$x_{ep}(n) = \frac{1}{2}[x(n) + x^*(N-n)]$$

$$x_{op}(n) = \frac{1}{2}[x(n) - x^*(N-n)]$$



3.2.5 DFT的共轭对称性

2. DFT的共轭对称性

(1) 如果 $x(n) = x_r(n) + jx_i(n)$

其中
$$x_r(n) = \text{Re}[x(n)] = \frac{1}{2}[x(n) + x^*(n)]$$

$$jx_i(n) = j \text{Im}[x(n)] = \frac{1}{2}[x(n) - x^*(n)]$$

则

$$\begin{aligned} X(k) &= \text{DFT}[x(n)] \\ &= \text{DFT}[x_r(n)] + \text{DFT}[jx_i(n)] \\ &= X_{ep}(k) + X_{op}(k) \end{aligned}$$



3.2.5 DFT的共轭对称性

2. DFT的共轭对称性

(2) 如果 $x(n) = x_{ep}(n) + x_{op}(n)$, $0 \leq n \leq N-1$

其中
$$x_{ep}(n) = \frac{1}{2}[x(n) + x^*(N-n)]$$

$$x_{op}(n) = \frac{1}{2}[x(n) - x^*(N-n)]$$

则

$$\begin{aligned} X(k) &= DFT[x(n)] = DFT[x_{ep}(n)] + DFT[x_{op}(n)] \\ &= \text{Re}[X(k)] + j \text{Im}[X(k)] = X_R(k) + jX_I(k) \end{aligned}$$



3. 2. 5 DFT的共轭对称性

总结:

如果 $x(n)$ 的DFT为 $X(k)$,
则

$x(n)$ 的实部和虚部（包括 j ）的DFT分别为 $X(k)$
的共轭对称分量和共轭反对称分量；

$x(n)$ 的共轭对称分量和共轭反对称分量的DFT
分别为 $X(k)$ 的实部和虚部（包括 j ）；



重要性质

当 $x(n)$ 为长度为 N 的**实序列**时, 且
 $X(k)=\text{DFT}[x(n)]$, 则

$$(1) X(k) = X^*(N-k), 0 \leq n \leq N-1$$

$$(2) \text{if } x(n) = x(N-n)$$

$$\text{Then } X(k) = X(N-k)$$

X(k)实偶

$$(3) \text{if } x(n) = -x(N-n)$$

$$\text{Then } X(k) = -X(N-k)$$

X(k)虚奇



3.4 频域采样

- 频域采样

指对序列的傅里叶变换进行取样。

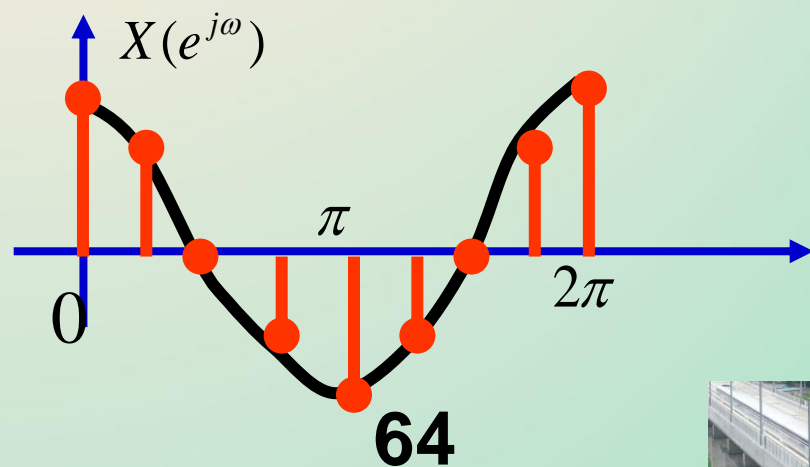
- 由时域取样定理，在一定的条件下，可以通过时域离散取样信号恢复原来的连续信号。
- 对有限长序列而言，由DFT的讨论可知，N点DFT就是在频域对序列傅里叶变换 $X(e^{j\omega})$ 在 $[0, 2\pi]$ 上的N点等间隔取样，即实现了频域取样。



3.4 频域采样

傅立叶变换的抽样——频域采样定理

- ❖ 为了便于计算机计算,一般采取在频率域采样的方法,来计算有限长序列的傅立叶变换。
- ❖ 那么,是否任何一个序列的频谱（或任何一个频率特性）都能用频率抽样的方法去逼近呢？其限制条件是什么？



3.4 频域采取样

推导过程:

设任意序列 $x(n)$ 存在Z变换

$$X(z) = \sum_{n=-\infty}^{\infty} x(n)z^{-n}$$

且 $X(z)$ 的收敛域包括单位圆, 如果对 $X(z)$ 在单位圆上的 N 个均分点采样, 则得到

$$X(k) = X(z) \Big|_{z=e^{j\frac{2\pi}{N}k}} = \sum_{n=-\infty}^{\infty} x(n)e^{-j\frac{2\pi}{N}kn}, 0 \leq k \leq N-1$$

$$x_N(n) = IDFT[X(k)], 0 \leq n \leq N-1$$

问题在于这样采样以后是否能恢复出原序列 $x(n)$



$$x_N(n) = IDFT[X(k)], 0 \leq n \leq N-1$$

经推导得

$$x_N(n) = \sum_{r=-\infty}^{\infty} x(n+rN)R_N(n)$$

说明:

$X(z)$ 在单位圆上的**N点等间隔采样** $X(k)$ 的 IDFT 为:
原序列 $x(n)$ 以**N为周期的周期延拓序列的主值序列**.

频域抽样造成时域信号的周期延拓, 其延拓周期为采
样点数**N**.

若 $x(n)$ 不是有限长的, 则延拓后必然造成混迭现象,
若 $x(n)$ 是有限长的, 长度为**M**, 当抽样点数不够密
时(**$N < M$**),也会造成混迭现象.



频域抽样定理

如果序列 $x(n)$ 的长度为 M , 则只有当频域抽样点数 N 满足

$$N \geq M$$

才有

$$x_N(n) = IDFT[X(k)] = x(n)$$

即可由 $X(k)$ 恢复出原序列 $x(n)$



时域抽样与频域抽样的比较

- 时域抽样



造成频域函数的周期延拓，周期为

$$\Omega_s \geq 2\Omega_c$$

- ❖ 频域抽样



造成时域函数的周期延拓，周期为

$$N \geq M$$



2. 用有限长序列的 $X(k)$ 表示 $X(z)$

由傅立叶反变换公式 $x(n) = \frac{1}{N} \sum_{k=0}^{N-1} X(k) W_N^{-nk}$

代入Z变换定义式得

$$\begin{aligned} X(z) &= \sum_{n=0}^{N-1} x(n) Z^{-n} = \sum_{n=0}^{N-1} \left[\frac{1}{N} \sum_{k=0}^{N-1} X(k) W_N^{-nk} \right] z^{-n} \\ &= \sum_{k=0}^{N-1} X(k) \left[\frac{1}{N} \sum_{n=0}^{N-1} (W_N^{-k} z^{-1})^n \right] \\ &= \sum_{k=0}^{N-1} X(k) \left[\frac{1}{N} \frac{1 - (W_N^{-k} z^{-1})^N}{1 - W_N^{-k} z^{-1}} \right] \end{aligned}$$

因为 $W_N^{-kN} = e^{j \frac{2\pi}{N} kN} = 1$



所以
$$X(z) = \sum_{k=0}^{N-1} X(k) \left[\frac{1}{N} \frac{1 - z^{-N}}{1 - W_N^{-k} z^{-1}} \right]$$

令

$$\varphi_k(z) = \frac{1}{N} \frac{1 - z^{-N}}{1 - W_N^{-k} z^{-1}} \quad \text{称为内插函数}$$

则

$$X(z) = \sum_{k=0}^{N-1} X(k) \varphi_k(z) \quad X(z) \text{ 的内插公式}$$



$X(z)$ 的内插公式

$$X(z) = \sum_{k=0}^{N-1} X(k) \varphi_k(z)$$

说明：由N点 $X(k)$ 可内插恢复 $X(z)$ 。

即已知 $X(k)$ 时，可根据内插公式求任意Z点的 $X(z)$ 。

因为 $X(z)$ 的N个采样点 $X(k)$ ，包含了 $X(z)$ 的全部信息。



自学例3. 3. 1



3.4 离散傅里叶变换的应用

- 用DFT计算线性卷积
- 用DFT对连续信号进行谱分析
- 用DFT对序列进行谱分析



3.4.1 用DFT计算线性卷积

设 $x_1(n)$ 和 $x_2(n)$ 都是长度为 L 的有限长因果序列，它们的 L 点循环卷积为

$$y(n) = x_1(n) \circledast x_2(n) = \sum_{m=0}^{L-1} x_1(m) x_2((n-m))_L R_L(n)$$

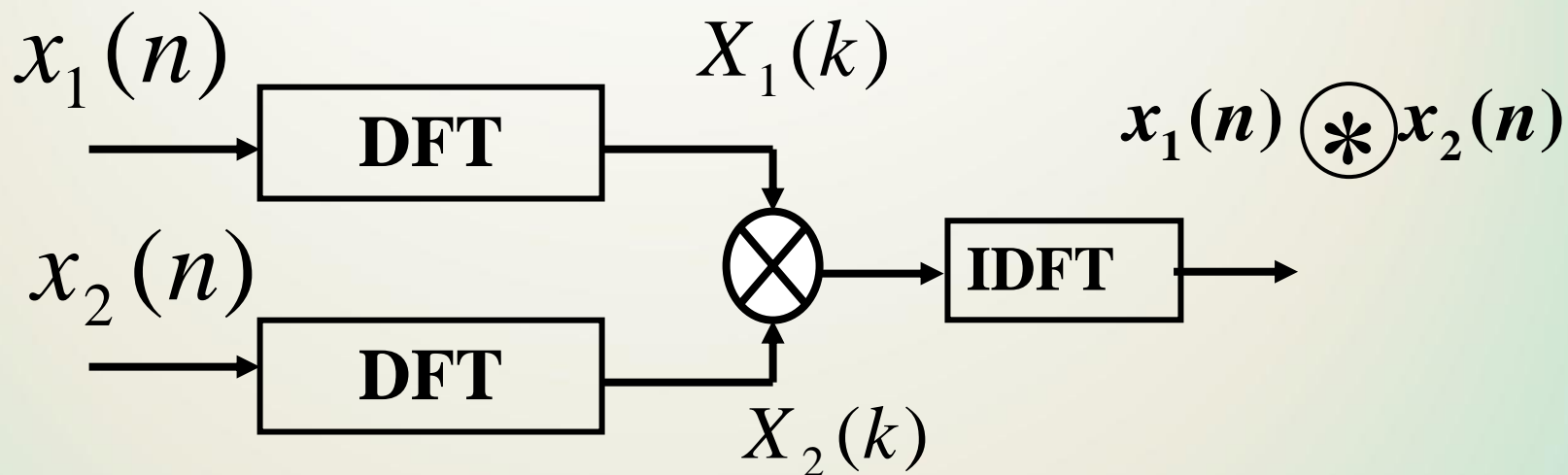
且 $X_1(k) = DFT[x_1(n)] \quad X_2(k) = DFT[x_2(n)]$

由时域循环卷积定理有

$$Y(k) = DFT[y(n)] = X_1(k) \cdot X_2(k) \quad 0 \leq k \leq L-1$$



用DFT计算循环卷积方框图



$$x_1(n) \circledast x_2(n) = IDFT[X_1(k)X_2(k)], \quad 0 \leq k \leq L-1$$

用DFT计算循环卷积方框图

理由： DFT运算存在快速算法（FFT）。



循环卷积与线性卷积相等的条件

- 条件:

两个长度分别为 N 和 M 的序列,
其线性卷积可用 L 点循环卷积来代替, 但
必满足条件

$$L \geq N+M-1$$

下面证明该条件。



有限长序列存在两种形式的卷积

线性卷积：实际系统的输出 $y(n)=x(n)*h(n)$

循环卷积：与DFT相对应，有快速算法

问题： 如何用循环卷积代替线性卷积？

设 $h(n)$ 和 $x(n)$ 都是有限长序列，长度分别为 N 和 M 。

$y_l(n) = h(n) * x(n)$ 长度为 $N+M-1$ 的有限长序列

$$y_c(n) = h(n) \bigcirc x(n)$$

$$L \geq \max[N, M]$$

将 $h(n)$ 和 $x(n)$ 均视为长度为 L 的有限长序列



循环卷积 和线性卷积 的关系

设 $h(n)$ 和 $x(n)$ 都是有限长序列，长度分别为 N 和 M 。

$$y_l(n) = h(n) * x(n) = \sum_{m=0}^{N-1} h(m)x(n-m)$$

$$y_c(n) = h(n) \bigcirc_L x(n)$$

$$= \sum_{m=0}^{L-1} h(m)x((n-m))_L R_L(n)$$

其中， $L \geq \max[N, M]$ ， $x((n))_L = \sum_{q=-\infty}^{\infty} x(n+qL)$

所以，
$$y_c(n) = \sum_{m=0}^{N-1} h(m) \sum_{q=-\infty}^{\infty} x(n-m+qL) R_L(n)$$



$$\begin{aligned}
 y_c(n) &= \sum_{m=0}^{N-1} h(m) \sum_{q=-\infty}^{\infty} x(n-m+qL) R_L(n) \\
 &= \sum_{q=-\infty}^{\infty} \sum_{m=0}^{N-1} h(m) x(n+qL-m) R_L(n)
 \end{aligned}$$

对照式 $y_l(n) = h(n) * x(n) = \sum_{m=0}^{N-1} h(m) x(n-m)$

可知, $\sum_{m=0}^{N-1} h(m) x(n+qL-m) = y_l(n+qL)$

即

$$y_c(n) = \sum_{q=-\infty}^{\infty} y_l(n+qL) R_L(n)$$



循环卷积 $y_c(n)$ 和线性卷积 $y_l(n)$ 的关系

经推导

$$y_c(n) = \sum_{q=-\infty}^{\infty} y_l(n + qL) R_L(n)$$

可见 $y_c(n)$ 是 $y_l(n)$ 以 L 为周期，进行延拓后，在 $0 \sim L-1$ 范围内所取的主值序列。

若 $L \geq N + M - 1$

则 $y_c(n) = y_l(n)$

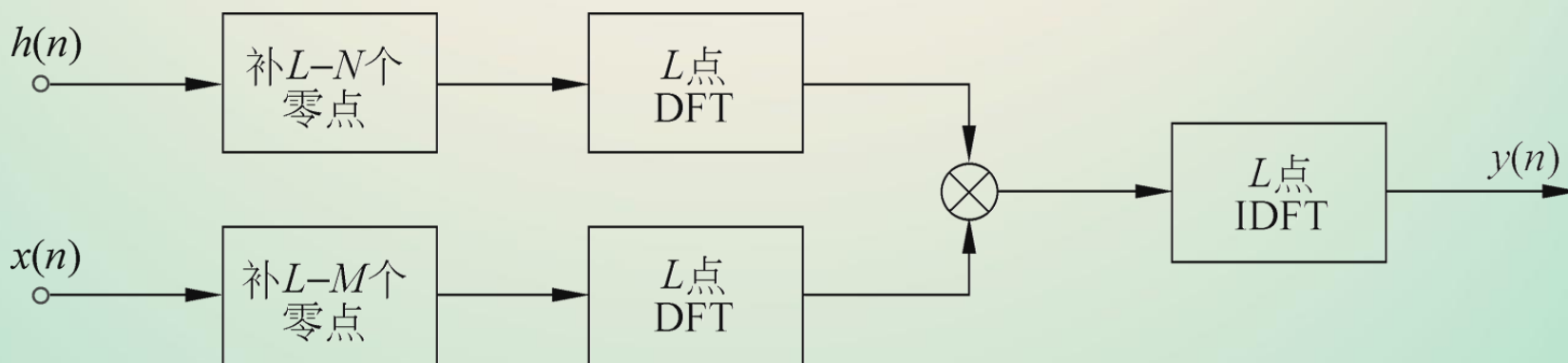


$$y_c(n) = \sum_{q=-\infty}^{\infty} y_l(n + qL) R_L(n)$$

说明:

$y_c(n)$ 是 $y_l(n)$ 以 L 为周期的周期延拓序列的主值序列。

由于卷积 $y_l(n)$ 的长度为 $N+M-1$ ，因此当循环卷积的长度 $L \geq N+M-1$ 时，以 L 为周期的周期延拓才不会出现混叠现象，此时取主值序列显然满足 $y_c(n) = y_l(n)$ 。



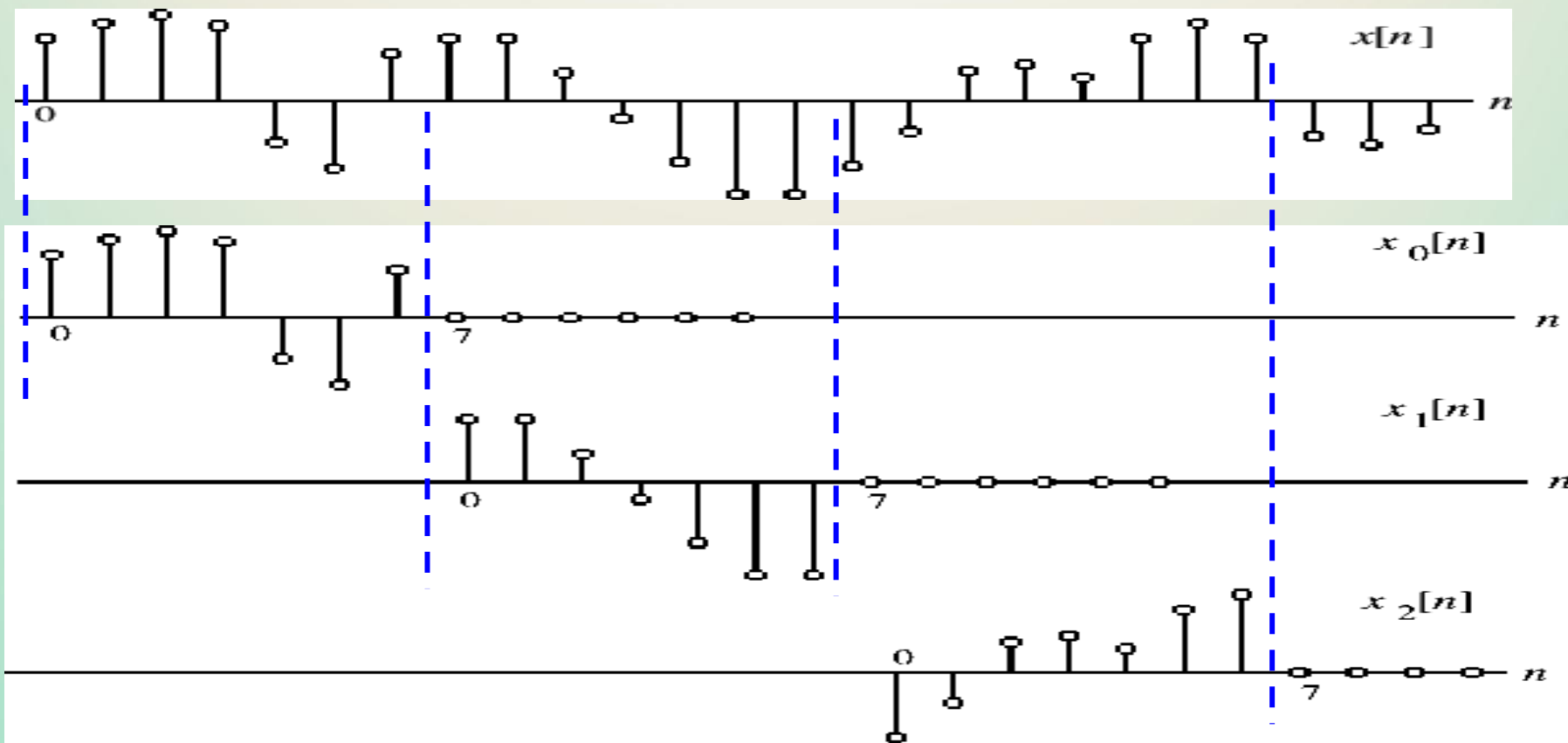
用DFT计算线性卷积的原理框图 ($L \geq N+M-1$)



两个序列的长度相差很大的情况

设序列 $h(n)$ 长度为 N ， $x(n)$ 为无限长序列。将 $x(n)$ 等长分段，每段长度取 M ，则

$$x(n) = \sum_{k=0}^{\infty} x_k(n) \quad x_k(n) = x(n)R_M(n - kM)$$



两个序列的长度相差很大的情况

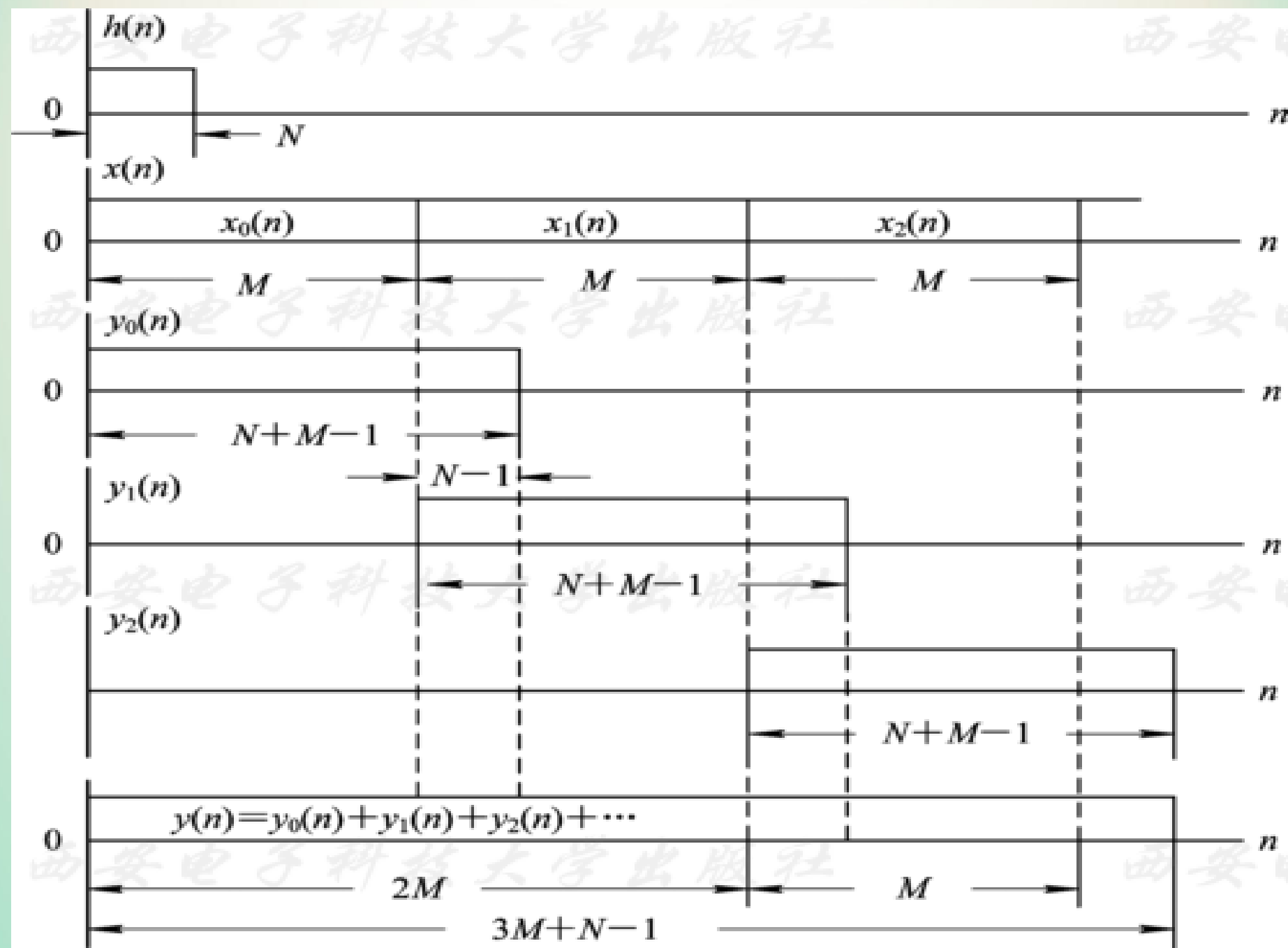
$h(n)$ 与 $x(n)$ 的线性卷积可表示为

$$y(n) = h(n) * x(n) = h(n) * \sum_{k=0}^{\infty} x_k(n) = \sum_{k=0}^{\infty} h(n) * x_k(n) = \sum_{k=0}^{\infty} y_k(n)$$

式中 $y_k(n) = h(n) * x_k(n)$

说明：计算 $h(n)$ 与 $x(n)$ 的线性卷积时，可先计算分段线性卷积 $y_k(n) = h(n) * x_k(n)$ ，然后把分段卷积结果叠加起来即可，每一段卷积 $y_k(n)$ 的长度为 $N+M-1$ ，因此相邻分段卷积 $y_k(n)$ 与 $y_{k+1}(n)$ 有 $N-1$ 个点重叠，必须把重叠部分的 $y_k(n)$ 与 $y_{k+1}(n)$ 相加，才能得到正确的卷积序列 $y(n)$ 。所以，称之为**重叠相加法**。





3. 4. 2 用DFT对信号进行谱分析

1. 用DFT对连续信号进行谱分析

2. 利用DFT 对序列进行谱分析

3. Chirp_z 变换

4. 用DFT进行谱分析的误差问题



3.4.2 用DFT对信号进行谱分析

1. 用DFT对连续信号进行谱分析

•混迭现象

带限信号的定义：

设 $f(t) \leftrightarrow F(j\Omega)$ ，且当 $|\Omega| \geq \Omega_c$ 时，有

$F(j\Omega) = 0$ ，则称 $f(t)$ 为带宽为 Ω_c 的带限信号

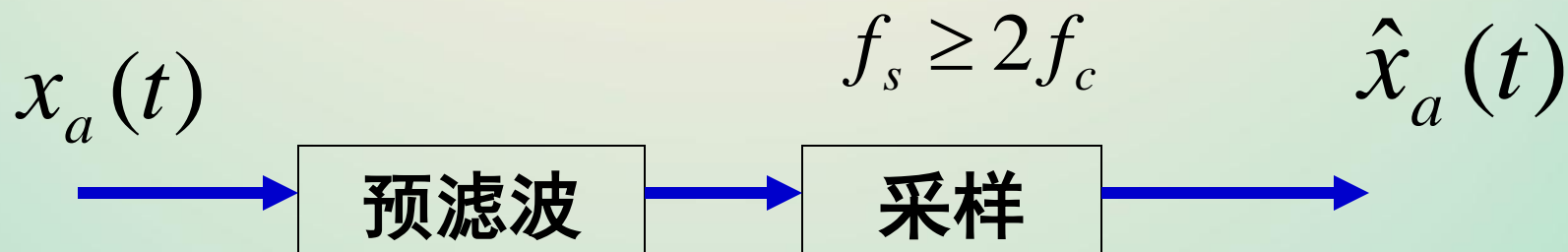
时域内持续**无限长**的信号，其信号频带才是**有限的**，
而时域内**有限长**的信号，其信号的频宽是**无限的**。



混迭现象的消除

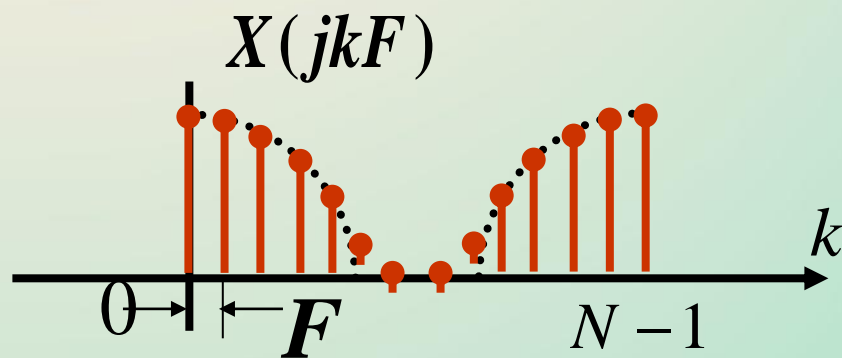
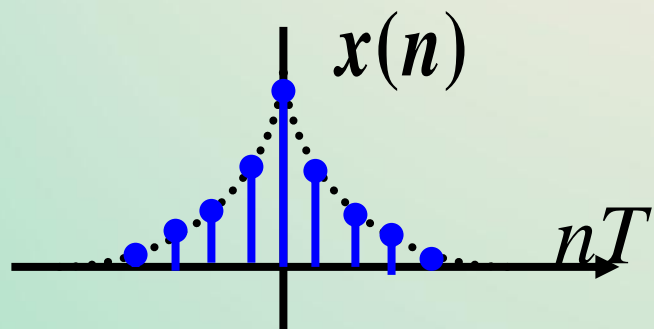
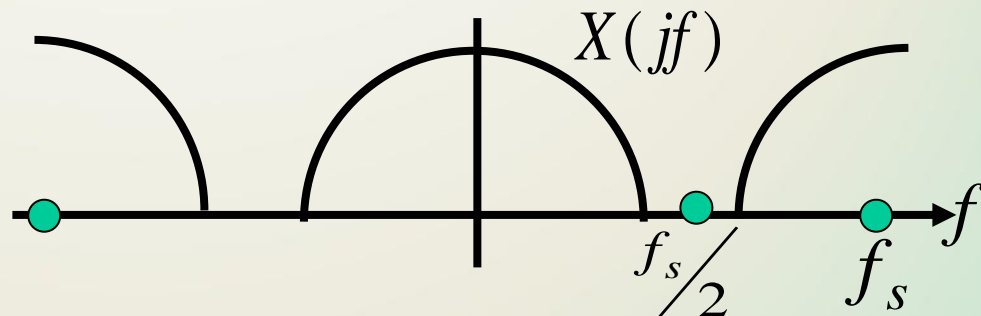
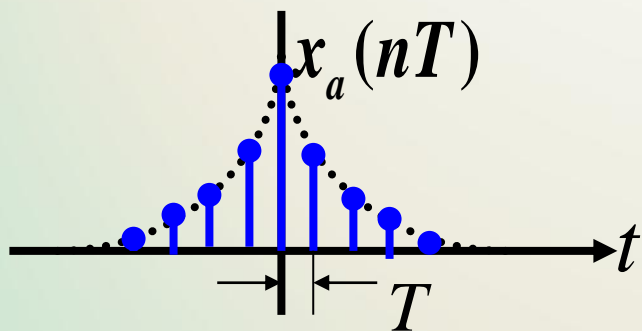
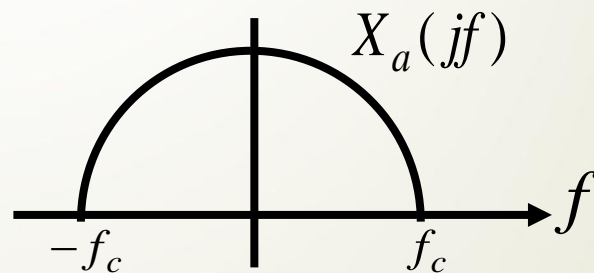
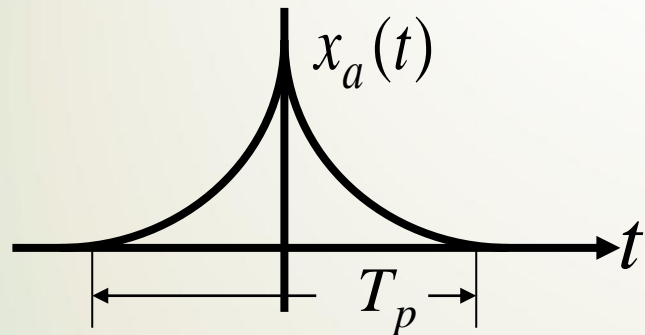
实际中的信号持续时间都是有限的，因此频带无限宽，再高的采样频率也不能满足抽样定理，总要产生频谱混迭现象。

为使时域有限长信号满足采样定理，在采样之前需先对信号进行预滤波，将其频谱限制在一定范围内，然后再进行采样。



连续信号的采样过程





设连续时间信号 $x_a(t)$ 持续时间为 T_p , 最高频率为 f_c 。

$$X_a(jf) = FT[x_a(t)] = \int_{-\infty}^{\infty} x_a(t) e^{-j2\pi ft} dt$$

对 $x_a(t)$ 以采样间隔 T 采样, 得 $x(n) = x_a(nT)$, 设共采样 N 点。

$$X(jf) = T \sum_{n=0}^{N-1} x_a(nT) e^{-j2\pi fnT}$$

对 $X(jf)$ 在区间 $(0, f_s)$ 上等间隔采样 N 点, 采样间隔为 F 。

$$F = \frac{f_s}{N} = \frac{1}{NT} = \frac{1}{T_p}, \quad T_p = \frac{1}{F}$$



将 $f=kF$ 代入 $X(jf)$,

$$\begin{aligned} X(jkF) &= T \sum_{n=0}^{N-1} x_a(nT) e^{-j2\pi kFnT} \\ &= T \sum_{n=0}^{N-1} x_a(nT) e^{-j\frac{2\pi}{N}kn} \end{aligned}$$

设 $x(n) = x_a(nT)$, 则

$$X(jkF) = T \sum_{n=0}^{N-1} x(n) e^{-j\frac{2\pi}{N}kn} = T \bullet DFT[x(n)]$$



DFT参数的选择

为了避免时域抽样造成的频谱混迭，要求

$$f_s \geq 2f_c (T \leq 1/2f_c)$$

根据需要确定**频率分辨率F**

频率分辨率F：

频域中能辨认的频率。

即频域抽样中两相邻点间的**频率间隔**，

F越小，频率分辨率越高，F确定后可计算采样点数N。

$$F = \frac{f_s}{N} = \frac{1}{NT} = \frac{1}{T_p}, \quad T_p = \frac{1}{F} \quad \text{时间函数周期（数据长度）}$$



f_c 与 F 之间的矛盾关系

f_c 增加 T 减少 f_s 增加 $\xrightarrow{N\text{一定}}$ F 增加

F 减少 T_p 增加 $\xrightarrow{N\text{一定}}$ T 增加 f_c 减少

当给定 f_c 和 F 时, N 和 T_p 可以依下式选择:

$$N = \frac{f_s (\geq 2f_c)}{F} \geq 2f_c / F, \quad T_p \geq \frac{1}{F}$$



例3.4.1

已知 $F \leq 10\text{Hz}, f_c = 2.5\text{kHz}$

求 (1) $T_{p\min}, T_{\max}, N_{\min}$

(2) 当 f_c 不变, F 增加一倍时 $N_{\min}, T_{p\min}$

解: $\because T_p \geq \frac{1}{F} = 0.1\text{s}, \therefore T_{p\min} = 0.1\text{s}$

$$T_{\max} = \frac{1}{2f_c} = 0.2 \times 10^{-3}\text{s}$$

$$N_{\min} = \frac{2f_c}{F} = 500$$



例3.4.1 (续)

(2) 当 f_c 不变, F 增加一倍时
为使分辨率提高一倍

$$F=10/2=5\text{Hz}$$

$$N_{\min} = \frac{2f_c}{F} = \frac{2 \times 2500}{5} = 1000$$

$$T_{p\min} = \frac{1}{5} = 0.2s$$



3. 4. 2 用DFT对信号进行谱分析

2. 用DFT对序列进行谱分析

- 有限长序列 $x(n)$

$$X(k) = DFT[x(n)] = \sum_{n=0}^{N-1} x(n)W_N^{kn}$$

- 周期序列 $\tilde{x}(n)$

$$X(k) = DFT[\tilde{x}(n)R_N(n)] = \tilde{X}(k)R_N(n)$$



3.4.2 用DFT对信号进行谱分析

3. 线性调频Z变换 (Chirp-Z变换)

用DFT对序列进行谱分析，可以得到在区间 $[0, 2\pi]$ 上对序列单位圆上的Z变换的等间隔采样，即 $X(k)$ 可以代表 $x(n)$ 的频谱结构。

但在很多实际应用中，有时只需分析某一段频带的频谱，有时需要知道系统的极点对应的频率。

解决上述问题可以采用螺线抽样，可以用FFT快速计算。



3. 线性调频Z变换 (Chirp-Z变换)

算法原理

已知 $x(n), 0 \leq n \leq N$ 是有限长序列,

$$\text{则 } X(z) = \sum_{n=0}^{N-1} x(n)z^{-n}$$

为了让Z沿Z平面的一段螺旋线作等分角抽样, Z的这些抽样点 z_k 为

$$z_k = A W^{-k}, 0 \leq k \leq M-1$$

M为要分析的复频谱的点数, 不一定等于N。



$$z_k = A W^{-k}, 0 \leq k \leq M-1$$

其中，A, W都是任意复数，可表示为

$$A = A_0 e^{j\theta_0}, W = W_0 e^{-j\varphi_0}$$

则

$$z_k = A_0 W_0^{-k} e^{j(\theta_0 + k\varphi_0)}$$

所以：

$$z_0 = A_0 e^{j\theta_0}, z_1 = A_0 W^{-1} e^{j(\theta_0 + \varphi_0)}, \dots$$

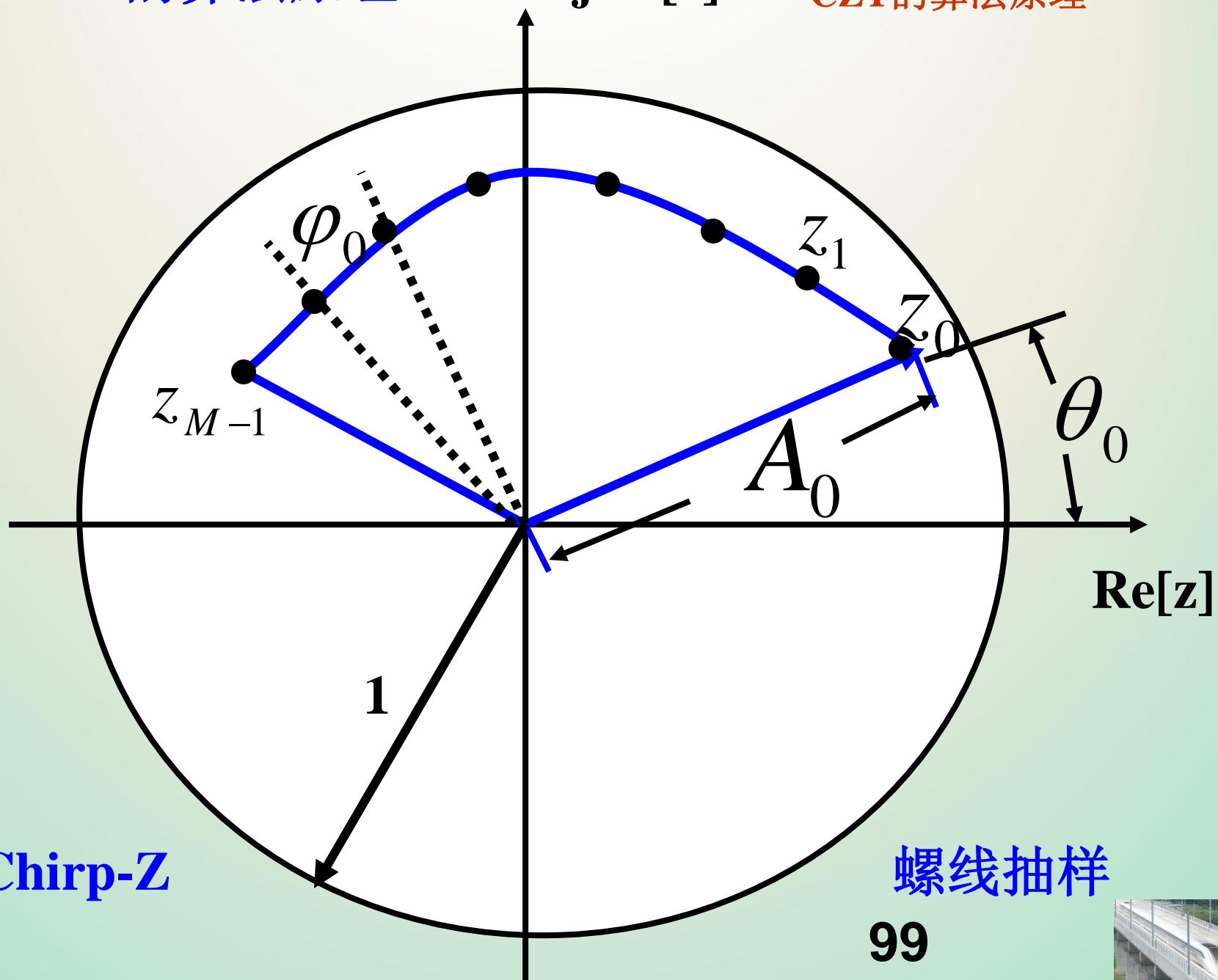
$$z_{M-1} = A_0 W^{-(M-1)} e^{j(\theta_0 + (M-1)\varphi_0)}$$



CZT的算法原理

$j\text{Im}[z]$

CZT的算法原理



其中

$A_0 \leq 1$ 起始抽样点 z_0 的 矢量半径,

θ_0 起始点的相角, 可正, 可负

φ_0 抽样间隔, 相邻抽样点之间的角度差

W_0 螺线的伸展率 $W_0 > 1$ 时, 螺线内缩

$W_0 < 1$ 时, 螺线外伸 $W_0 = 1$ 时, 半径为 A_0 的圆弧

当 $M = N, A = 1, W = e^{-j\frac{2\pi}{N}}$ 时, 即为序列的DFT



将 z_k 代入Z变换表达式中

$$X(z_k) = \sum_{n=0}^{N-1} x(n) z_k^{-n} = \sum_{n=0}^{N-1} x(n) A^{-n} W^{nk}$$

$$0 \leq k \leq M-1$$

因为 $nk = \frac{1}{2}[n^2 + k^2 - (k-n)^2]$ 布鲁斯坦等式

所以

$$X(z_k) = \sum_{n=0}^{N-1} x(n) A^{-n} W^{\frac{n^2}{2}} W^{-\frac{(k-n)^2}{2}} W^{\frac{k^2}{2}}$$



进一步整理得

$$X(z_k) = W^{\frac{k^2}{2}} \sum_{n=0}^{N-1} [x(n) A^{-n} W^{\frac{n^2}{2}}] W^{-\frac{(k-n)^2}{2}}$$

令

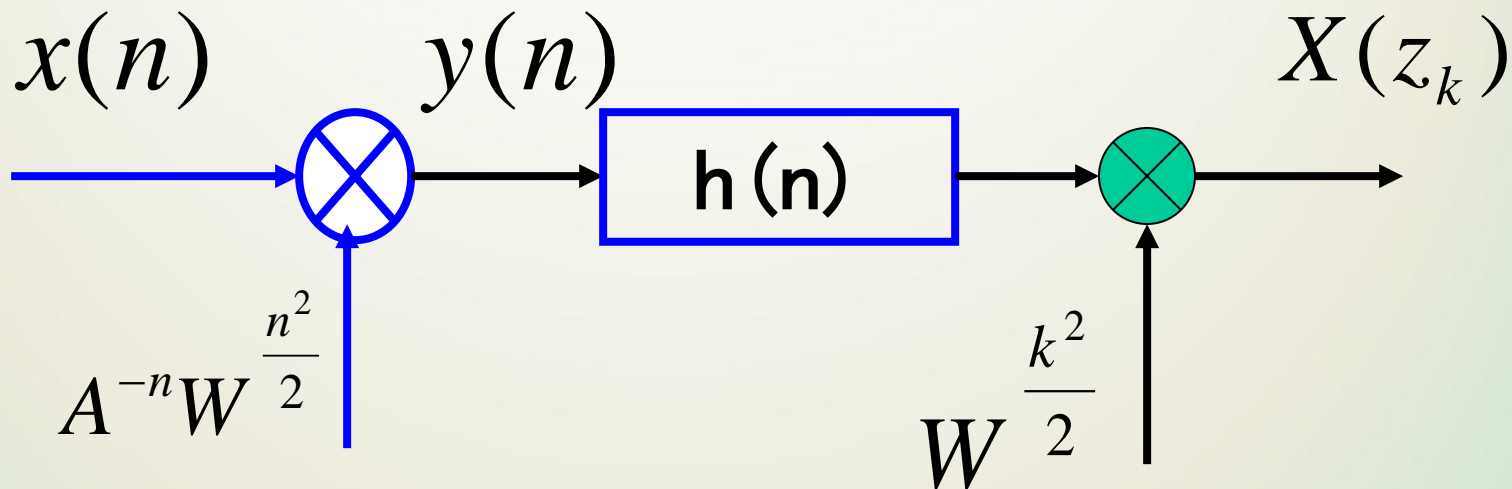
$$y(n) = x(n) A^{-n} W^{\frac{n^2}{2}} \quad h(n) = W^{-\frac{n^2}{2}}$$

则

$$\begin{aligned} X(z_k) &= W^{\frac{k^2}{2}} \sum_{n=0}^{N-1} y(n) h(k-n) \\ &= W^{\frac{k^2}{2}} [y(k) * h(k)], 0 \leq k \leq M-1 \end{aligned}$$



CZT的线性滤波计算步骤



$h(n) = W^{-\frac{n^2}{2}}$ 为频率随时间增长的复指数序列。

在雷达系统中，这种信号称为线性调频信号，并

用专用词汇Chirp表示，故以上变换称为线性调频Z变换(CZT)。



用DFT计算CZT的原理

因为 $h(n)$ 是以 $n=0$ 偶对称的无穷长的序列， $y(n)$ 是 N 点序列，

所以 $h(n)$ 与 $y(n)$ 的卷积为无限长序列

然而 仅需分析 M 点的频谱，且希望用 FFT 计算。

因此 需要对 $h(n)$ 和 $y(n)$ 的长度作处理



CZT的实现步骤

1. 选择一个最小的整数 L ，使其满足

$$L \geq N + M - 1 \text{ 同时满足 } L = 2^m$$

2. 形成 L 点序列 $h(n)$ ，并求 $H(k)$

3. 将 $y(n)$ 变为长度为 L 点的序列，并求 $Y(k)$

4. 计算 $y(k) \bullet H(k)$

5. 计算 $V(n) = IDFT[Y(k)H(k)], 0 \leq n \leq L-1$

其中，前 M 个值等于 $h(n)$ 与 $y(n)$ 的线性卷积

6. 计算 $X(z_k) = W^{\frac{k^2}{2}} V(k), 0 \leq k \leq M-1$



CZT的特点

- 算法灵活，输入序列的长度 N 和输出序列的长度不需要相等，且两者均可为素数。
- 频率分辨率是任意的，可进行窄带高分辨率的谱分析
- 谱分析路径可以是螺旋形的。

● 当 $A = 1, N = M, W = e^{j\frac{2\pi}{N}}$ 时，

CZT就是DFT，因此，DFT是CZT的特例



3.4.2 用DFT对信号进行谱分析

4. 用DFT进行谱分析的误差问题

(1) 混叠现象。 对连续信号进行谱分析时，首先要对其采样，变成时域离散信号后才能用DFT进行谱分析。

采样速率 f_s 必须满足采样定理，否则，
对于数字域频率，会在 $\omega=\pi$ 附近发生频谱混叠现象；
对于模拟域频率，会在 $f=f_s/2$ 附近发生频谱混叠现象

理论上必须满足： $f_s \geq 2f_c$ 。（ f_c 是连续信号的最高频率）

实际应用中： $f_s = (3 \sim 5)f_c$ ；一般在采样前进行预滤波



(2) 栅栏效应。N点DFT是在【 $0, 2\pi$ 】上对离散信号的频谱进行N点等间隔采样，而采样点间的频谱函数数值是不知道的。

就像透过栅栏看频谱，仅得到N个缝隙中的频谱函数值。为了检出漏掉的某些大的频谱分量，可以采用在原序列尾部补零的方法，改变序列长度N，从而增加频域采样点数和采样点位置。

只要采样速率 f_s 足够高，且采样点数满足频率分辨率要求（ $N \geq 2f_c / F$ ）就可以认为所得的离散谱的包络近似代表原信号的频谱。



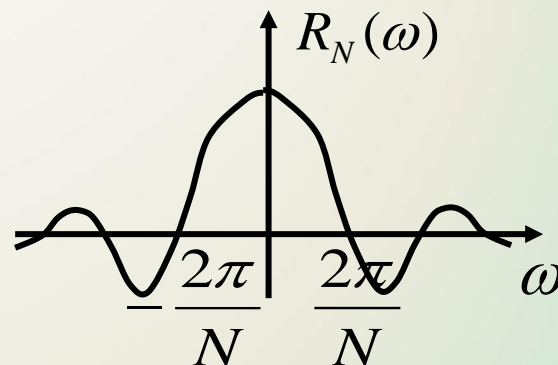
(3) 截断效应。实际中遇到的序列 $x(n)$ 可能无限长，用DFT进行谱分析时，必须截成有限长序列：

$$y(n) = x(n) \cdot R_N(n)$$

因为 $Y(e^{j\omega}) = \frac{1}{2\pi} X(e^{j\omega}) * R_N(e^{j\omega})$

其中 $R_N(e^{j\omega}) = FT[R_N(n)]$

$$= e^{-j\omega \frac{N-1}{2}} \frac{\sin(\omega N/2)}{\sin(\omega/2)} = R_N(\omega) e^{j\phi(\omega)}$$



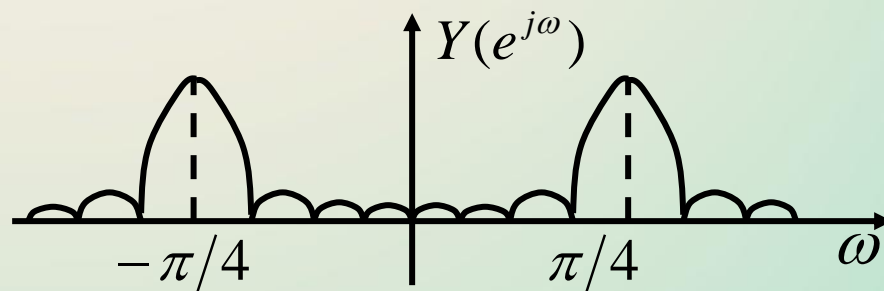
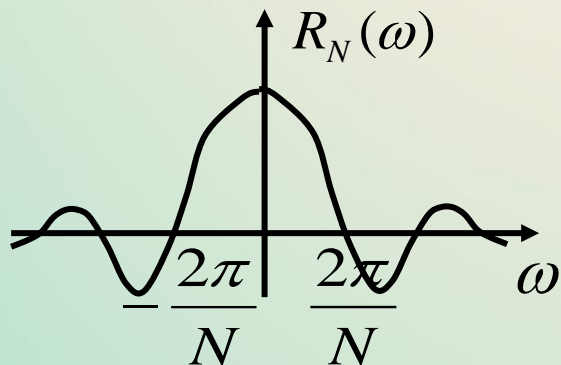
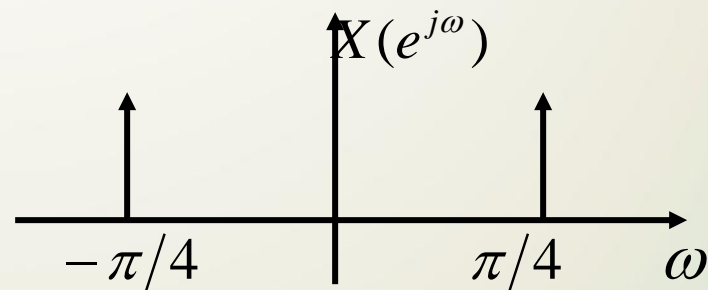
所以，截断后序列的频谱 $Y(e^{j\omega})$ 与原序列的频谱 $X(e^{j\omega})$ 必然有差别，称为截断效应。

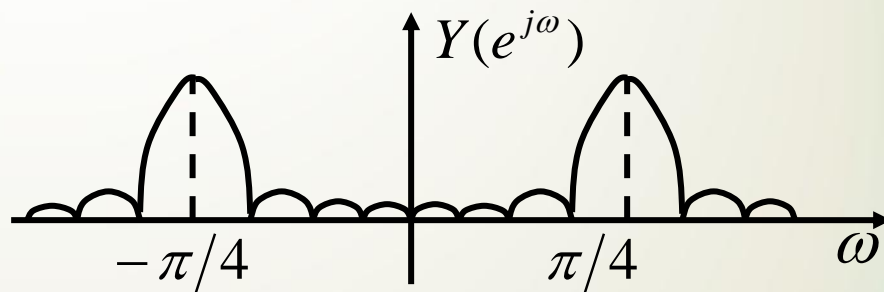
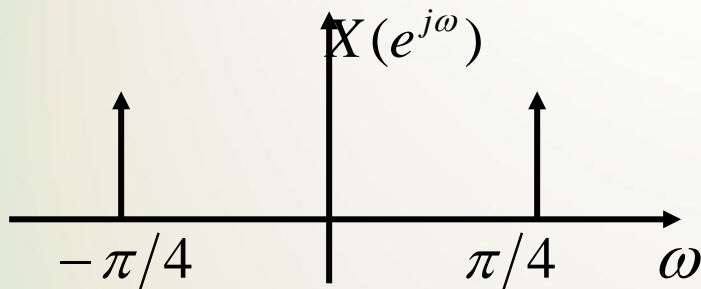


例如, $x(n) = \cos(\frac{\pi}{4}n)$ $y(n) = \cos(\frac{\pi}{4}n)R_N(n)$

二者的幅频曲线如图

$$Y(e^{j\omega}) = \frac{1}{2\pi} X(e^{j\omega}) * R_N(e^{j\omega})$$





截断效应对谱分析的影响主要表现在两个方面：

- 1. 泄漏。使原来的离散谱线向附近展宽。泄漏使频谱变模糊，谱分辨率降低。**
- 2. 谱间干扰。在主谱线两边形成很多旁瓣，引起不同频率分量间的干扰，影响频谱分辨率。**

强信号谱的旁瓣可能湮没弱信号的主谱线；或把强信号谱的旁瓣误认为另一信号的谱线，从而造成假信号。



作业：

书写题： 1： （2） ， （3） ， （7）

3, 11, 12, 14, 15, 18

实验： 第十章的实验二， 双面打印，
抄袭为零分。

